

# VYSOKÉ UČENÍ TECHNICKÉ V BRNĚ

BRNO UNIVERSITY OF TECHNOLOGY

FAKULTA ELEKTROTECHNIKY A KOMUNIKAČNÍCH TECHNOLOGIÍ  
ÚSTAV AUTOMATIZACE A MĚŘICÍ TECHNIKY

FACULTY OF ELECTRICAL ENGINEERING AND COMMUNICATION  
DEPARTMENT OF CONTROL AND INSTRUMENTATION

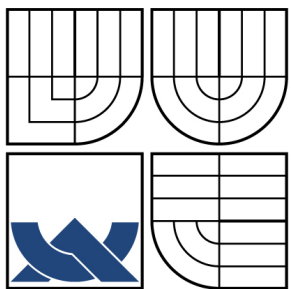
ŘÍZENÍ ELEKTROMECHANICKÉ SOUSTAVY S LINEÁRNÍM MOTOREM

DIPLOMOVÁ PRÁCE  
MASTER'S THESIS

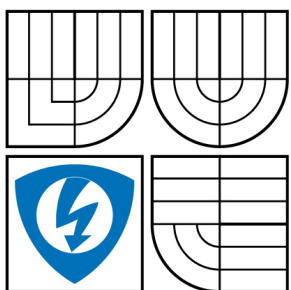
AUTOR PRÁCE  
AUTHOR

Bc. KATARÍNA JUDINYOVÁ

BRNO 2009



VYSOKÉ UČENÍ TECHNICKÉ V BRNĚ  
BRNO UNIVERSITY OF TECHNOLOGY



FAKULTA ELEKTROTECHNIKY A KOMUNIKAČNÍCH  
TECHNOLOGIÍ  
ÚSTAV AUTOMATIZACE A MĚŘICÍ TECHNIKY  
FACULTY OF ELECTRICAL ENGINEERING AND COMMUNICATION  
DEPARTMENT OF CONTROL AND INSTRUMENTATION

# ŘÍZENÍ ELEKTROMECHANICKÉ SOUSTAVY S LINEÁRNÍM MOTOREM

CONTROL OF THE ELECTROMECHANICAL SYSTEM WITH A LINEAR MOTOR

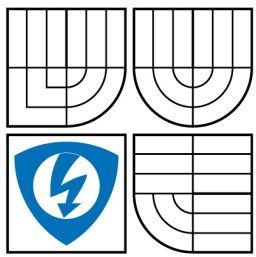
DIPLOMOVÁ PRÁCE  
MASTER'S THESIS

AUTOR PRÁCE  
AUTHOR

Bc. KATARÍNA JUDINYOVÁ

VEDOUCÍ PRÁCE  
SUPERVISOR

doc. Ing. PAVEL VÁCLAVEK, Ph.D.



VYSOKÉ UČENÍ  
TECHNICKÉ V BRNĚ  
**Fakulta elektrotechniky**  
**a komunikačních technologií**  
**Ústav automatizace a měřicí techniky**

# Diplomová práce

magisterský navazující studijní obor  
**Kybernetika, automatizace a měření**

**Studentka:** Bc. Katarína Judinyová

**ID:** 83681

**Ročník:** 2

**Akademický rok:** 2008/2009

## NÁZEV TÉMATU:

**Řízení elektromechanické soustavy s lineárním motorem**

## POKYNY PRO VYPRACOVÁNÍ:

Seznamte se s vektorovým řízením synchronního motoru. Realizujte algoritmus v prostředí Matlab-Simulink a převeďte jej do tvaru, který bude odpovídat řízení lineárního motoru. Ověřte chování algoritmu ve spojení s jednoduchými mechanickými systémy a ukažte vliv nepřesnosti ve znalosti parametrů na kvalitu ragulačního děje

## DOPORUČENÁ LITERATURA:

Caha, Z., Černý, M.: Elektrické pohony  
Šubrt, J.: Elektrické regulační pohony

**Termín zadání:** 9.2.2009

**Termín odevzdání:** 25.5.2009

**Vedoucí práce:** doc. Ing. Pavel Václavek, Ph.D.

**prof. Ing. Pavel Jura, CSc.**  
*Předseda oborové rady*

## UPOZORNĚNÍ:

Autor diplomové práce nesmí při vytváření diplomové práce porušit autorská práva třetích osob, zejména nesmí zasahovat nedovoleným způsobem do cizích autorských práv osobnostních a musí si být plně vědom následků porušení ustanovení § 11 a následujících autorského zákona č. 121/2000 Sb., včetně možných trestněprávních důsledků vyplývajících z ustanovení § 152 trestního zákona č. 140/1961 Sb.

Názov práce: Řízení elektromechanické soustavy s lineárním motorem  
 Autor: Katarína Judinyová

## Abstrakt

Predložená diplomová práca sa zaobrá všeobecným princípom fungovania elektrických pohonov a konštrukciou synchrónneho elektrického motora. Obsahuje porovnanie lineárneho motora s rotačným motorom s prevodovkou a venuje sa konštrukcii lineárneho motora. Bližšie sú opísané bežné typy lineárnych pohonov na trhu. Ďalej sa diskutuje popis veličín synchrónneho rotačného motora pomocou komplexorov, Clarkovej a Parkovej lineárnej transformácie rovníc. Je vysvetlený princíp vektorovo orientovaného riadenia elektrického pohonu. Je ukázaný spôsob prevodu parametrov konkrétneho lineárneho motora na rotačné ekvivalenty, ktoré slúžia ako vstupy pre model. K modelu je navrhnutá bloková schéma riadenia na žiadane translačné posunutie a vyhodnotená kvalita regulácie. Na záver je predložená simulácia priebehov skúmaných veličín pri zmene parametrov lineárneho motora, ktoré nastávajú v prevádzke.

### Kľúčové slová

motor, lineárny motor, lineárny synchrónny motor s permanentnými magnetmi, elektromechanická sústava, vektorové riadenie, riadenie

Title: Control of the Electromechanical System with a Linear Motor  
 Author: Katarína Judinyová

## Abstract

The submitted Master's thesis deals with the general principle of the electric drives' functioning and with the construction of a synchronous electric motor. A comparison of a linear drive and a rotary drive with rack and pinion system is provided, as well as an overview of common type linear drives. A mathematical model of a rotary synchronous motor, the Clark's and Park's transformation and the principle of vector control is explained. A method of the linear parameters' conversion to the rotary equivalents is demonstrated. A block diagram to motor control is designed. The control quality is tested by various criteria. Lastly, there is a simulation provided on how the changes of motor's parameters affect the control quality.

### Key words

motor, linear motor, linear synchronous motor with permanent magnets, electromechanical system, vector control, control

## **Bibliografická citace**

JUDINYOVÁ, K. Řízení elektromechanické soustavy s lineárním motorem. Brno: Vysoké učení technické v Brně, Fakulta elektrotechniky a komunikačních technologií, 2009. 82 s. Vedoucí diplomové práce doc. Ing. Pavel Václavek, Ph.D.

## **Prohlášení**

„Prohlašuji, že svou diplomovou práci na téma Řízení elektromechanické soustavy s lineárním pohonem jsem vypracovala samostatně pod vedením vedoucího diplomové práce a s použitím odborné literatury a dalších informačních zdrojů, které jsou všechny citovány v práci a uvedeny v seznamu literatury na konci práce.

Jako autor uvedené diplomové práce dále prohlašuji, že v souvislosti s vytvořením této diplomové práce jsem neporušila autorská práva třetích osob, zejména jsem nezasáhla nedovoleným způsobem do cizích autorských práv osobnostních a jsem si plně vědoma následků porušení ustanovení § 11 a následujících autorského zákona č. 121/2000 Sb., včetně možných trestněprávních důsledků vyplývajících z ustanovení § 152 trestního zákona č. 140/1961 Sb.“

V Brně dne:

.....

podpis autora

## **Poděkování**

Děkuji vedoucímu diplomové práce Doc. Ing. Pavlovi Václavkovi, CSc. za účinnou metodickou, pedagogickou a odbornou pomoc a další cenné rady při zpracování mé diplomové práce.

V Brně dne:

.....

podpis autora

## OBSAH

|  |           |
|--|-----------|
| <b>1. ÚVOD .....</b>   | <b>8</b>  |
| <b>2. ELEKTRICKÝ POHON .....</b>   | <b>9</b>  |
| 2.1 Pohybová rovnica elektrického motora.....  | 9         |
| 2.2 Synchrónny elektrický motor.....   | 10        |
| <b>3. LINEÁRNY POHON.....</b>  | <b>12</b> |
| 3.1 Porovnanie lineárnych pohonov s rotačnými pohonmi vybavenými prevodovkou<br>na translačný pohyb .....            | 13        |
| 3.2 Typy lineárnych motorov.....   | 14        |
| 3.2.1 Cylindrický lineárny motor (Cylindrical moving magnet linear motor) .....                                      | 15        |
| 3.2.2 Lineárny motor s profilom U (U Channel linear motor) .....   | 15        |
| 3.2.3 Plochý lineárny motor (Flat type linear motor) .....   | 15        |
| 3.2.4 Lineárny synchrónny motor s permanentnými magnetmi (Linear permanent<br>magnet synchronous motor, LPMSM) ..... | 17        |
| <b>4. MATEMATICKÝ POPIS ELEKTRICKÉHO POHONU.....</b>   | <b>19</b> |
| 4.1 Parkova lineárna transformácia rovníc (Park's transformation) .....  | 19        |
| 4.2 Clarkova lineárna transformácia rovníc (Clark's transformation).....   | 20        |
| 4.3 Matematický popis synchrónneho motora .....  | 21        |
| 4.4 Decoupling .....   | 26        |
| 4.5 Vektorovo orientované riadenie pohonu (Space Vector Control) .....   | 28        |
| <b>5. RIADENIE MOTORA.....</b>   | <b>30</b> |
| 5.1 Parametre lineárneho motora .....  | 30        |
| 5.2 Prepočet lineárnych parametrov na rotačné a naspäť .....   | 30        |
| 5.3 Vstupné hodnoty pre simuláciu .....  | 32        |
| 5.4 Návrh regulačného obvodu .....   | 32        |
| 5.4.1 Bloková schéma.....  | 32        |
| 5.4.2 Kritériá kvality regulácie .....   | 36        |
| 5.4.3 Konštanty pre regulátory .....   | 37        |
| <b>6. VPLYV ZMIEN PARAMETROV MOTORA NA REGULÁCIU.....</b>  | <b>39</b> |

|  |           |
|--|-----------|
| 6.1 Teplotné zmeny odporu vinutí R .....   | 39        |
| 6.2 Zmeny hmotnosti záťaže.....            | 47        |
| <b>7. ZÁVER.....</b>                       | <b>56</b> |
| <b>8. ZOZNAM LITERATÚRY .....</b>          | <b>57</b> |
| <b>9. ZOZNAM OBRÁZKOV.....</b>             | <b>59</b> |
| <b>10. ZOZNAM SKRATIEK A SYMBOLOV.....</b> | <b>61</b> |
| <b>11. ZOZNAM PRÍLOH .....</b>             | <b>63</b> |
| <b>12. PRÍLOHY.....</b>                    | <b>64</b> |
| 12.1 Príloha č. 1 – Zdrojový kód .....     | 64        |

## 1. ÚVOD

V prvej časti práce sa zaobrám všeobecným princípom fungovania elektrických pohonov a konštrukciou synchrónneho elektrického motora.

Druhá časť je venovaná porovnaniu lineárneho motora s rotačným motorom s prevodovkou a konštrukcii lineárneho motora. Bližšie sú opísané bežné typy lineárnych pohonov na trhu.

V nasledujúcej kapitole sa diskutuje popis veličín synchrónneho rotačného motora pomocou komplexorov, Clarkovej a Parkovej lineárnej transformácie rovníc. Je vysvetlený princíp vektorovo orientovaného riadenia elektrického pohonu.

Ďalej je ukázaný spôsob prevodu parametrov konkrétneho lineárneho motora na rotačné ekvivalenty, ktoré slúžia ako vstupy pre model. K modelu je navrhnutá bloková schéma riadenia na žiadane translačné posunutie a vyhodnotená kvalita regulácie.

Na záver je predložená simulácia priebehov skúmaných veličín pri zmene parametrov lineárneho motora, ktoré nastávajú v prevádzke.

## 2. ELEKTRICKÝ POHON

Elektrický pohon je zariadenie uskutočňujúce elektromechanickú premenu energie. Jeho úlohou je uviesť poháňaný pracovný mechanizmus predpísaným spôsobom do určitého pohybového stavu, určeného jeho funkciou tak, aby bola pracovným mechanizmom uskutočnená technologická operácia alebo zaistený technologický proces. [1]

Podľa druhu vykonávaného pohybu triedime elektromotory na točivé a priamočiare (lineárne). Podľa toho, či sa elektrické motory pripájajú ku striedavému alebo jednosmernému zdroju energie rozoznávame striedavé alebo jednosmerné motory. Striedavý zdroj býva jedno- alebo viacfázový, najčastejšie trojfázový.

Motor sa skladá zo statoru a rotoru, ktoré sú vybavené vinutím. Vinutie býva rozložené (cievky založené v drážkach na obvode vzduchovej medzery) alebo vo forme cievok nasunutých na vyjadrených póloch rozmiestených po obvode vzduchovej medzery. Namiesto pólov s cievkami sa používajú i permanentné magnety.

Trojfázové vinutia bývajú spojené do hviezdy (Y), kde konce všetkých fáz tvoria spoločný uzol a ich začiatky sa pripájajú na fázy zdroja U, V, W alebo do trojuholníka ( $\Delta$ ), kde koniec predchádzajúcej fázy vinutia je spojený so začiatkom nasledujúcej fázy vinutia a uzly sa pripájajú k fázam zdroja. Pri spojení do hviezdy platí, že prúd fáz  $I_f$  a prúd sieťových prívodov  $I_s$  sú vo vzťahu  $I_f = I_s$ ; napätie fáz  $U_f$  a sieťové napätie  $U_s$  vo vzťahu  $U_f = \frac{1}{\sqrt{3}} \cdot U_s$ . Pri spojení do trojuholníka platí

$$I_f = \frac{1}{\sqrt{3}} \cdot I_s ; U_f = U_s. [4]$$

### 2.1 POHYBOVÁ ROVNICA ELEKTRICKÉHO MOTORA

Pre pohyb elektrického motora platí všeobecne pohybová rovnica. Pohybová rovnica motoru vystihuje vzájomné pôsobenie elektrického pohonu a hnaného

mechanizmu. Vychádza z (Lagrangeovho-) D'Alembertovho princípu, podľa ktorého je teleso rotujúce okolo stálej osi v dynamickej rovnováhe, ak je výslednica všetkých momentov pôsobiacich na teleso nulový vektor

$$\sum_{i=1}^n M_i + M_d = 0 \quad (2.1.1)$$

kde  $\sum_{i=1}^n M_i$  je súčet hnacích a záťažových momentov a  $M_d$  je dynamický moment.

Pri translačnom pohybe telesa obdobne platí pre sily

$$\sum_{i=1}^n F_i + F_d = 0 \quad (2.1.2)$$

kde  $\sum_{i=1}^n F_i$  je súčet hnacích a záťažových síl a  $F_d$  je dynamická sila. [1]

## 2.2 SYNCHRÓNNY ELEKTRICKÝ MOTOR

Synchrónny elektromotor sa vyskytuje v širokom rozsahu výkonov (od zlomkov W až po 15 MW i viac). Od asynchronných pohonov sa odlišuje tým, že má stále otáčky.

Uhlová rýchlosť synchrónneho motora (synchrónna rýchlosť  $\omega_s$ ) nezávisí na záťaži až do jej maximálnej povolenej hodnoty. Po jej prekročení vypadne motor zo synchrónneho chodu, zastaví sa a zo siete odoberá prúd nakrátko.

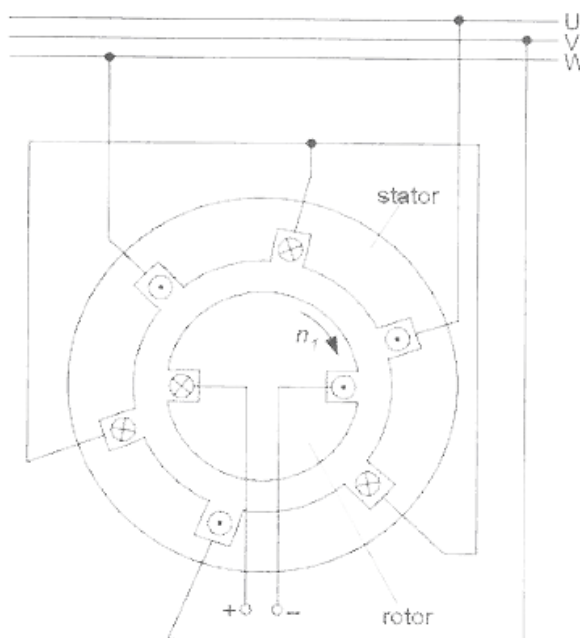
$$\omega_s = \frac{2\pi f_1}{p_p} \quad (2.2.1)$$

Synchrónny motor má väčšiu účinnosť  $\eta$ . Samostatne ani prostým pripojením na siet' sa nerozbehne – na vznik magnetického poľa je potrebný budič.

Kotva (stator) má obyčajne trojfázové vinutie, zriedkavejšie dvojfázové alebo jednofázové. Budenie zabezpečuje budiace vinutie magnetického kolesa (rotor), otáčajúce sa konštantnou synchrónnou rýchlosťou – u synchrónnych motorov budených rotorom. Budič je zdroj jednosmerného prúdu, rotačný alebo polovodičový. Môže byť namontovaný priamo na hriadeľi – výhodné

pri rýchlobežných motoroch, alebo na zvláštnom budiacom agregáte – pri pomalobežných motoroch. [2] Rotor môže byť s vyjadrenými pólmi (asi do 1500 ot./min) alebo hladký (nad 1500 ot./min). [12] Hladký rotor je cylindrický, s budiacim vinutím vloženým v drážkach. U rotora s vyjadrenými pólami je budiace vinutie sústredne navinuté na jadrách pólov. [2] Stator je skladaný z plechov. Póly sú liate alebo skladané z plechov. U liatych pólov sa tlmiace vinutie nepoužíva. Pólové nadstavce skladané z plechov majú tlmiace vinutie z medených, mosadzných alebo železných tyčí, ktoré sú po oboch stranách pólov spojené kruhmi (vinutie nakrátko), ktoré tlmi kývanie motora. Ak je tlmiace vinutie z odporových materiálov, môže slúžiť na asynchronny rozbeh motora.

Synchrónny motor môže vyvinúť točivý moment, len ak sa magnetické polia statora a rotora vzájomne nepohybujú, teda ak sa rotor otáča synchrónne s poľom v statore. Magnetické pole statora má vždy maximálne synchrónne otáčky, lebo je napájané zo siete. Keď sa motor otáča podsynchronnymi otáčkami, obe polia sa vzájomne pohybujú a motor nevyvinie rovnometerný točivý moment.



Obr. 2.1. Principiálna schéma synchrónneho motoru (rotačného) s hladkým rotorom [4]

### 3. LINEÁRNY POHON

Lineárny motor je druh asynchronného alebo synchrónneho stroja, ktorý priamo vytvára priamočiary pohyb. Prvý motor tohto typu zstrojil profesor Eric Laithwaite. [5] Lineárny motor sa dá opísť ako klasický synchrónny alebo asynchronný motor, ktorého stator rozrežeme v radiálnej rovine, a potom ho rozvinieme ako na Obr. 3.1. Magnetické pole sa bude potom pohybovať vo vzduchovej medzere pozdĺž statora a účinkom elektromagnetickej sily sa bude rotor (jazdec) pohybovať v priamom smere. [3]

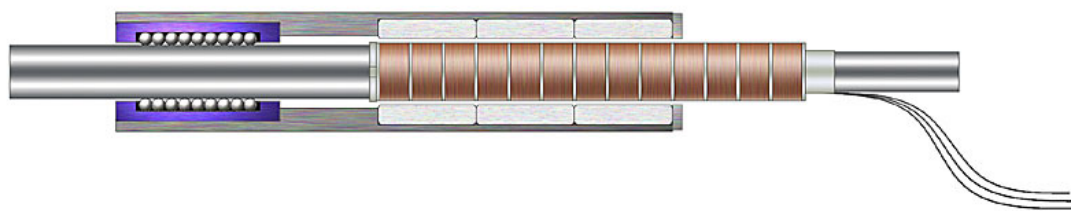
Rotor sa skladá z cievok v epoxidovom zapuzdrení, zariadení na princípe Hallovho javu, termistora a elektrických spojení. Stator (track) tvoria magnety na oceli. Tvorí lineárnu vodiaci koľajnicu, ktorá udržiava rotor v magnetickom poli statora. Na rozdiel od rotačných motorov nepotrebuje teda rotačné ložiská. Rotor a stator nemajú žiadne mechanické spojenie. Na meranie pozície rotora sa používajú diferenciálne lineárne enkodéry. Ich výhoda spočíva v tom, že merajú priamo polohu záťaže, čím prispievajú k zvýšeniu presnosti. [3]

Stator lineárnych motorov sa spravidla označuje ako primárny diel a rotor ako sekundárny diel. Lineárne synchrónne motory s permanentnými magnetmi (ďalej LM s PM) majú oproti primárному dielu konštrukčne usporiadanú sekundárnu časť tvorenú permanentnými magnetmi z kovov vzácnych zemín (Nd-Fe-B – neodým-železo-bór), ktoré sú nalepené na oceľovú podložku. Použitie indukčných lineárnych motorov sa obmedzuje na menej náročné aplikácie, kde má význam predovšetkým jednoduchosť a robustnosť stavby motora, napr. neštandardné prevádzkové prostredie, vlhké, znečistené, teplé, kde vzniká možnosť mechanického poškodenia stroja. Asynchronná verzia má sekundárny diel vytvorený klietkou nakrátko uloženú bud' do drážok feromagnetického zväzku, alebo pripojenú na oceľovú podložku. [11]

Lineárne motory obyčajne fungujú s pohyblivým rotorom a stálym statorom, možná je však i opačný variant. Výhodou prvého usporiadania je pomerne nízka hmotnosť rotoru, nevýhodou zvýšené nároky na mechanickú odolnosť káblového systému.

Lineárny motor je možné riadiť podobnými metódami ako rotačný. Moment sa u lineárnych motorov vyjadruje v [N], rýchlosť v [ $m.s^{-1}$ ]. [3]

Pomocou lineárneho motoru je možné dosiahnuť vyššiu presnosť a opakovateľnosť pozície. Pružnosť a vôľa súčastí sú nízke, systém je tuhý. Je možné dosiahnuť vysoké rýchlosťi ( $5 m.s^{-1}$ ) a zrýchlenia (5g). Vďaka absencii mechanického kontaktu nedochádza k opotrebovaniu a nevyžaduje sa mazanie. [5]



Obr. 3.1. Lineárny motor, znázornenie statoru a jazdca. [9]

### **3.1 POROVNANIE LINEÁRNYCH POHONOV S ROTAČNÝMI POHONMI VYBAVENÝMI PREVODOVKOU NA TRANSLAČNÝ POHYB**

Výhody lineárneho pohonu oproti rotačným motorom s prevodovkou:

- vyššia dynamika a väčší rozsah regulácie,
- väčšie rýchlosťi posuvu,
- vyššia presnosť polohovania,
- možnosti klasických rotačných motorov s mechanickým prevodom z rotačného pohybu na lineárny sú na hraniciach možností daných pružnosťou, mechanickými vôleami a postupným opotrebovaním,
- takmer bezporuchová prevádzka,
- prevádzka s lineárnymi motormi nie je nebezpečná pre životné funkcie obsluhy z hľadiska EMC.

Nevýhody lineárnych motorov s permanentnými magnetmi:

- s dĺhšou dráhou je drahší ako rotačný motor s prevodovkou s porovnatelným výkonom,
- nutnosť riešiť relatívne veľké príťažlivé sily medzi primárnym a sekundárnym dielom,
- potreba zabezpečiť mechanické vedenie a prívod energie primárnej časti lineárneho motora. [11]

Vďaka svojim prednostiam lineárne motory prenikajú do oblasti vysokorýchlosných obrábacích strojov, napr. frézovacie centrá, vertikálne obrábacie centrá, univerzálne sústruhy, prestrihovacie stroje, energolúčové rezacie stroje. Záujem o lineárne motory s permanentnými magnetmi rastie najmä u výrobcov strojov na elektroerozívne opracúvanie, polohovacích a manipulačných mechanizmov. Bežné sú ako pohony na osadzovacie stroje a polygrafickú techniku. LM s PM bez železa sa uplatňujú tam, kde je potrebný presný pohyb malých hmôt s veľkým počtom taktov a kde musí výrobný proces prebiehať dlhodobo vo vysokej a opakovateľnej kvalite. Z týchto dôvodov sa do budúcnosti predpokladá ročný nárast predaja lineárnych pohonov o 20-30 %. [11]

### **3.2 TYPY LINEÁRNYCH MOTOROV**

Podľa princípu činnosti a konštrukcie rozdeľujeme lineárne motory do týchto kategórií:

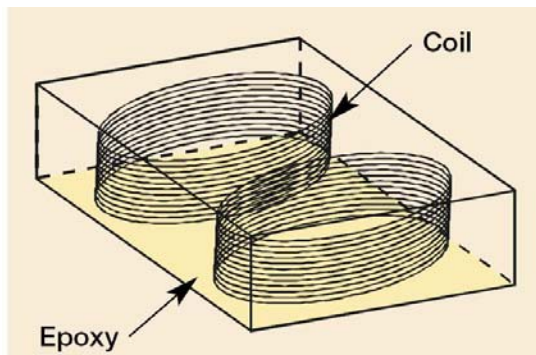
1. jednosmerné,
2. asynchronne striedavé,
3. synchrónne striedavé:
  - a. so statorom bez feromagnetických materiálov,
  - b. so statorom s feromagnetickými materiálmi.

Medzi obvykle používané tvary konštrukcie lineárneho motora patria cylindrický, s profilom U (U Channel) a plochý.

### **3.2.1 Cylindrický lineárny motor (Cylindrical moving magnet linear motor)**

Rotor je kruhovitého tvaru a pohybuje tyč so zabudovanými magnetmi. Vinutie cievok pozostáva väčšinou z troch fáz s bezkartáčovou komutáciou využívajúcou prvky na princípe Hallovho javu. Nie je vhodný pre použitie v oblastiach citlivých na únik magnetického toku. [5]

### **3.2.2 Lineárny motor s profilom U (U Channel linear motor)**



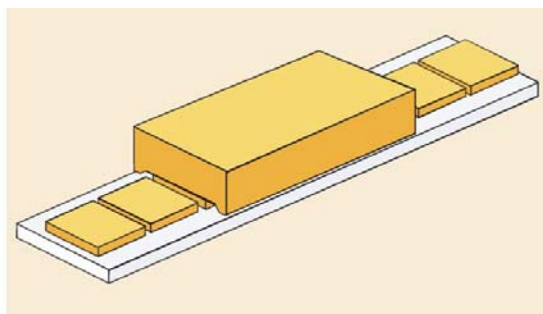
Obr. 3.2. U Channel linear motor, rotor [5]

Pozostáva z dvoch rovnobežných magnetických koľajníc postavených proti sebe. Medzi nimi sa pohybuje rotor, ktorý je podopieraný systémom ložísk. Rotor neobsahuje železo, a teda sa neuplatňuje magnetická sila medzi rotorom a statorom. Je ľahký, čo umožňuje vysoké zrýchlenia. Po pridaní chladenia sa výkon motoru zvýší. Vhodný pre aplikácie citlivé na únik magnetického toku, keďže magnety sú obrátené proti sebe a tienené. Tento typ umožňuje spojenie viacerých motorov a predĺženie možnej dráhy, ktorá bude obmedzená iba dĺžkou káblového systému a enkodérom. [5,6]

### **3.2.3 Plochý lineárny motor (Flat type linear motor)**

Ploché lineárne motory sa najčastejšie vyrábajú ako bezdrážkové motory s bázou bez železa (slotless ironless), bezdrážkové s bázou zloženou z vrstvenej

ocele a hliníka (slotless iron) a drážkové s vrstvenou bázou (slotted iron). Všetky typy sú komutované bezkartáčovo.

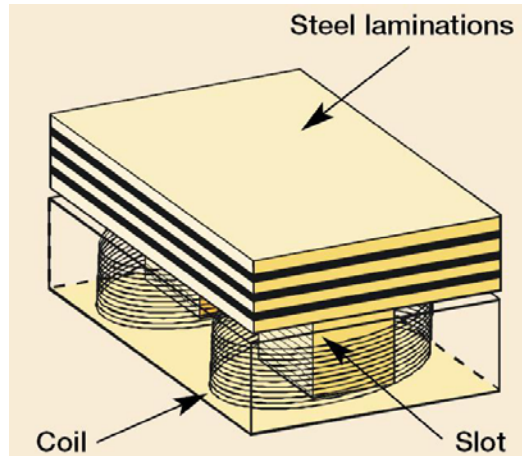


Obr. 3.3. Flat type linear motor [5]

Bezdrážkové lineárne motory s bázou bez železa (slotless ironless) sa skladajú z cievok nasadených na hliníkovú podložku. Vďaka neprítomnosti železa v rotore nepôsobí žiadna magnetická sila. Vhodné tam, kde sú požiadavky na plynulú a hladkú reguláciu rýchlosťi (skenovanie). Avšak výstupná sila je najmenšia z plochých motorov.

Bezdrážkové lineárne motory s bázou zloženou z vrstvej ocele a hliníka (slotless iron) sa podobajú predchádzajúcemu typu, avšak cievky sú nasadené na vrstvu ocele, a tá na hliníkovú podložku. Vrstva ocele slúži na usmernenie magnetického pola a na zosilnenie výstupnej sily. V tomto type sa vyskytuje magnetická príťažlivá sila medzi rotorom a statorom. Je úmerná výstupnej sile motoru.

Drážkové lineárne motory s vrstvenou bázou (slotted iron) obsahujú cievkové vinutia usporiadané pomocou oceľovej konštrukcie do cievkovej súpravy. Železné jadro výrazne zväčšuje výstupnú silu motora tým, že sústredí magnetické pole vytvorené vinutím. Príťažlivá sila medzi rotorom a statorom je už značná, čo sa dá využiť ako predbežné zaťaženie pre ložiskový systém, avšak prináša so sebou i opotrebovanie. [5]



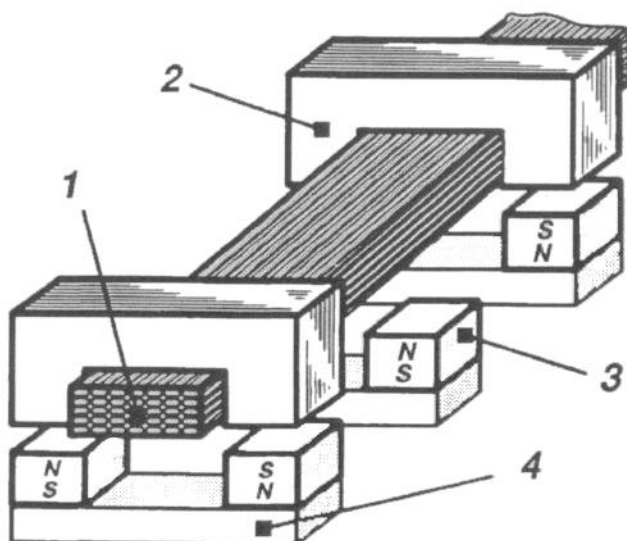
Obr. 3.4. Slotted iron flat motor [5]

### 3.2.4 Lineárny synchrónny motor s permanentnými magnetmi (Linear permanent magnet synchronous motor, LPMSM)

Lineárny synchrónny motor je motor, v ktorom je priamočiary pohyb v synchronizme s magnetickým poľom, t.j. posuvná rýchlosť je rovnaká ako rýchlosť pohybujúceho sa magnetického poľa. Čahová sila je generovaná buď ako produkt mnohofázového vinutia a poľa magnetických pólov N, S, ... N, S alebo feromagnetického statora s premenlivým magnetickým odporom; alebo ako dôsledok magnetického poľa vytváraného elektronicky prepínanými jednosmernými vinutiami.

Striedavé mnohofázové synchrónne motory sú obvykle vybavené jednosmerným elektromagnetickým budením. Namesto jednosmerných elektromagnetov sa často používajú permanentné magnety. Tieto sa vyskytujú v dvoch variantoch: motory, v ktorých sú vstupné prúdové krivky sínusoidné a generujú posúvajúce sa magnetické pole; a jednosmerné lineárne bezkartáčové pohony so spätnou väzbou od pozicie, ktorých vstupné krivky sú obdĺžnikové alebo lichobežníkové a sú zosynchronizované s rýchlosťou a polohou rotora.

Permanentné magnety sa môžu vyskytovať v statore (reaction rail) alebo v rotore (passive reaction rail). [6]



Obr. 3.5. Lineárny synchronný motor s permanentnými magnetmi a priečnym magnetickým tokom [6]. 1-vinutie kotvy, 2-vrstvené jadro kotvy, 3-permanentný magnet, 4-spätné feromagnetické jadro.

## 4. MATEMATICKÝ POPIS ELEKTRICKÉHO POHONU

### 4.1 PARKOVA LINEÁRNA TRANSFORMÁCIA ROVNÍC (PARK'S TRANSFORMATION)

Na symetrickom stroji zapojenom do Y alebo  $\Delta$  bez vyvedeného stredu môžeme uskutočniť Parkovu lineárnu transformáciu rovníc, ktorá umožňuje zameniť pevný dvojdimenzionálny súradnicový systém za pohyblivý. Ak v určitom okamihu zobrazíme okamžité hodnoty fázorov prúdov jednotlivých fáz statora a, b, c, zložíme ich a normujeme, dostaneme pre priestorový vektor (=komplexor) prúdu statora vzťah

$$\hat{i}_1 = \frac{2}{3} \cdot (i_a + a \cdot i_b + a^2 \cdot i_c) \quad (2.3.1)$$

kde  $a = e^{j\frac{2\pi}{3}}$ .

Platí

$$\hat{i}_s^K = \hat{i}_s \cdot e^{-j\theta_K} = i_{sx}^K + j \cdot i_{sy}^K \quad (2.3.2)$$

$$\hat{i}_s = \hat{i}_s^K \cdot e^{j\theta_K} = i_{s\alpha} + j \cdot i_{s\beta} \quad (2.3.3)$$

Pre transformáciu veličín zo súradnicového systému  $(\alpha, \beta)$  do systému  $(x, y)$ , t.j.  $(\alpha, \beta) \rightarrow (x, y)$

$$\begin{pmatrix} i_{sx}^K \\ i_{sy}^K \end{pmatrix} = D^{-1}(\theta_K) \cdot \begin{pmatrix} i_\alpha \\ i_\beta \end{pmatrix} = D(-\theta_K) \cdot \begin{pmatrix} i_\alpha \\ i_\beta \end{pmatrix} = \begin{pmatrix} \cos \theta_K & \sin \theta_K \\ -\sin \theta_K & \cos \theta_K \end{pmatrix} \cdot \begin{pmatrix} i_\alpha \\ i_\beta \end{pmatrix} \quad (2.3.4)$$

Pre spätnú transformáciu  $(x, y) \rightarrow (\alpha, \beta)$  platí

$$\begin{pmatrix} i_\alpha \\ i_\beta \end{pmatrix} = \begin{pmatrix} \cos \theta_K & -\sin \theta_K \\ \sin \theta_K & \cos \theta_K \end{pmatrix} \cdot \begin{pmatrix} i_{sx}^K \\ i_{sy}^K \end{pmatrix} = D(\theta_K) \cdot \begin{pmatrix} i_{sx}^K \\ i_{sy}^K \end{pmatrix} \quad (2.3.5)$$

[2]

Pozn.: V inej literatúre sa bežne používa namiesto nového systému  $(x, y)$  systém  $(d, q)$  a príslušné transformačné rovnice sa zapisujú pre všeobecnú veličinu  $x$  v tvare [1]

$$\begin{pmatrix} x_d \\ x_q \end{pmatrix} = \begin{pmatrix} \cos \theta & \sin \theta \\ -\sin \theta & \cos \theta \end{pmatrix} \cdot \begin{pmatrix} x_\alpha \\ x_\beta \end{pmatrix} \quad (2.3.6)$$

$$\begin{pmatrix} x_\alpha \\ x_\beta \end{pmatrix} = \begin{pmatrix} \cos \theta & -\sin \theta \\ \sin \theta & \cos \theta \end{pmatrix} \cdot \begin{pmatrix} x_d \\ x_q \end{pmatrix} \quad (2.3.7)$$

## 4.2 CLARKOVÁ LINEÁRNA TRANSFORMÁCIA ROVNÍC (CLARK'S TRANSFORMATION)

Vyjadruje transformáciu zo súradnicového systému (a, b, c) do systému ( $\alpha$ ,  $\beta$ ,  $\gamma$ ) vektoru prúdu alebo napätia. Nazýva sa i transformácia 2→3 (alebo 3→2). Ak máme vektor prúdu

$$i_{abc} = (i_a \quad i_b \quad i_c)^T \quad (2.4.1)$$

Potom platí

$$\begin{pmatrix} i_\alpha \\ i_\beta \\ i_\gamma \end{pmatrix} = T \cdot \begin{pmatrix} i_a \\ i_b \\ i_c \end{pmatrix} = \sqrt{\frac{2}{3}} \cdot \begin{pmatrix} 1 & -\frac{1}{2} & -\frac{1}{2} \\ 0 & \frac{\sqrt{3}}{2} & -\frac{\sqrt{3}}{2} \\ \frac{1}{\sqrt{2}} & \frac{1}{\sqrt{2}} & \frac{1}{\sqrt{2}} \end{pmatrix} \cdot \begin{pmatrix} i_a \\ i_b \\ i_c \end{pmatrix} \quad (2.4.2)$$

Kde  $T^T$  je ortonormálna báza nového trojdimenzionálneho priestoru.

Ak si stanovíme podmienku

$$i_a + i_b + i_c = 0 \quad (2.4.3)$$

z ktorej vyplýva, že  $i_\gamma = 0$ , znamená to, že sa bude vektor  $i_{abc}$  premietat z trojrozmerného priestoru do roviny, teda redukciu o jednu dimensiу. Nakol'ko rovnica transformácie pre  $i_\gamma$  presne znie

$$i_\gamma = \frac{1}{\sqrt{3}}i_a + \frac{1}{\sqrt{3}}i_b + \frac{1}{\sqrt{3}}i_c \quad (2.4.5)$$

ide v skutočnosti o aritmetický priemer zložiek pôvodného trojrozmerného vektora násobený určitým koeficientom.

Kedže zložka  $\gamma$  je nulová za platnosti (2.20), zredukujú sa vzťahy pre priamu a inverznú Clarkovu transformáciu  $(a, b, c) \rightarrow (\alpha, \beta)$ , (a opačne), na

$$\begin{pmatrix} i_\alpha \\ i_\beta \\ i_c \end{pmatrix} = T_{red} \cdot \begin{pmatrix} i_a \\ i_b \\ i_c \end{pmatrix} = \sqrt{\frac{2}{3}} \cdot \begin{pmatrix} 1 & -\frac{1}{2} & -\frac{1}{2} \\ 0 & \frac{\sqrt{3}}{2} & -\frac{\sqrt{3}}{2} \\ 0 & \frac{1}{2} & \frac{1}{2} \end{pmatrix} \cdot \begin{pmatrix} i_a \\ i_b \\ i_c \end{pmatrix} \quad (2.4.6)$$

$$\begin{pmatrix} i_a \\ i_b \\ i_c \end{pmatrix} = T_{red}^T \cdot \begin{pmatrix} i_\alpha \\ i_\beta \\ i_c \end{pmatrix} = \sqrt{\frac{2}{3}} \cdot \begin{pmatrix} 1 & 0 \\ -\frac{1}{2} & \frac{\sqrt{3}}{2} \\ -\frac{1}{2} & -\frac{\sqrt{3}}{2} \end{pmatrix} \cdot \begin{pmatrix} i_\alpha \\ i_\beta \\ i_c \end{pmatrix} \quad (2.4.7)$$

Napríklad ak máme tri zložky vektora fázovo posunuté vzájomne o  $\frac{2\pi}{3}$ :

$$i_a = I \cdot \sin(\omega t), \quad i_b = I \cdot \sin\left(\omega t + \frac{2\pi}{3}\right), \quad i_c = I \cdot \sin\left(\omega t - \frac{2\pi}{3}\right) \quad (2.4.8)$$

Tieto sa použitím Clarkovej transformácie zredukujú na

$$i_\alpha = \sqrt{\frac{3}{2}} \cdot I \cdot \sin(\omega t), \quad i_\beta = -\sqrt{\frac{3}{2}} \cdot I \cdot \cos(\omega t) \quad (2.4.9)$$

[2]

### 4.3 MATEMATICKÝ POPIS SYNCHRÓNNEHO MOTORA

Synchrónny motor je možno opísť ako systém s trojfázovými vinutiami statoru a, b, c a rotor s budiacim vinutím B a tlmiacimi vinutiami na rotore D a Q, ktoré sú nakrátko. Budeme predpokladať, že motor je napájaný súmerným trojfázovým harmonickým napäťím a vinutia fáz sú priestorovo symetricky rozložené v drážkach statora a rotora. Ďalej sa predpokladá, že rozloženie magnetickej indukcie  $B$  vo vzduchovej medzere je harmonické. Straty v železe sa zanedbávajú. Reálne statorové vinutie zapojené do Y nemá vyvedenú 0. Ak zanedbáme tlmiace vinutia D, Q, situácia sa ďalej zjednoduší.

Podľa [1] je možné odvodiť model motora nasledujúcim spôsobom.

Predpokladáme trojfázový systém so statorovými veličinami  $u_{1a}$ ,  $u_{1b}$ ,  $u_{1c}$  a  $i_{1a}$ ,  $i_{1b}$ ,  $i_{1c}$  a rotorovými  $i_{2a}$ ,  $i_{2b}$ ,  $i_{2c}$ . Rotorové vinutia sú spojené nakrátko a sú posunuté oproti statorovému vinutiu o uhol

$$\vartheta = \int_0^t \omega dt + \vartheta_0 \quad (4.3.1)$$

Rovnaké točivé magnetické pole možno vytvoriť aj dvojfázovým systémom s veličinami  $u_{1d}$ ,  $u_{1q}$ ,  $i_{1d}$ ,  $i_{1q}$  a  $i_{2d}$ ,  $i_{2q}$ , kde obidve fázy statora (alebo rotora) zvierajú uhol  $90^\circ$ . Posun o  $90^\circ$  sa dá vyjadriť pomocou jednotkovej imaginárnej zložky  $j = e^{j\frac{\pi}{2}}$ . Dvojfázový systém je možné potom nahradíť jedinou komplexnou fázou na statore a rotore, pre ktorú platí

$$u_1^S = u_{1d} + ju_{1q} \quad (4.3.2a,b,c)$$

$$i_1^S = i_{1d} + ji_{1q}$$

$$i_2^R = i_{2d} + ji_{2q}$$

Indexy S, R znamenajú, že veličiny sú spojené s ortogonálnym Gaussovým súradnicovým systémom statora, rotora. Pomocou vyššie uvedenej úvahy môžeme prejsť z reálneho trojfázového systému na fiktívny komplexný jednofázový.

Pre napäcia trojfázového systému v ustálenom stave  $\omega_1 = 2\pi f_1 = \text{const.}$  platia vzťahy

$$\begin{aligned} u_a &= U_{am} \cos(\omega_1 t) \\ u_b &= U_{am} \cos\left(\omega_1 t - \frac{2\pi}{3}\right) \\ u_c &= U_{am} \cos\left(\omega_1 t + \frac{2\pi}{3}\right) \end{aligned} \quad (4.3.3)$$

Komplexory napäti jednotlivých fáz

$$\begin{aligned} \hat{u}_a &= U_{am} e^0 e^{j\omega_1 t} = \hat{U}_{am} e^{j\omega_1 t} \\ \hat{u}_b &= U_{bm} e^{j\frac{2\pi}{3}} e^{j\omega_1 t} = \hat{U}_{bm} e^{j\omega_1 t} \\ \hat{u}_c &= U_{cm} e^{-j\frac{2\pi}{3}} e^{j\omega_1 t} = \hat{U}_{cm} e^{j\omega_1 t} \end{aligned} \quad (4.3.4)$$

kde  $\hat{U}_{am}$ ,  $\hat{U}_{bm}$ ,  $\hat{U}_{cm}$  sú fázory, rotujúce uhlovou rýchlosťou  $\omega_1$ .

Priestorový komplexor napäť trojfázového systému v súradnicovom systéme  $S$  bude

$$\hat{u}^S = K \cdot (u_a + \hat{a}u_b + \hat{a}^2u_c) \quad (4.3.5)$$

K je konštanta, ktorá sa zvyčajne volí  $K = 2/3$ . Amplitúdy všetkých fáz sú rovnaké  $U_{am} = U_{bm} = U_{cm}$ , a predchádzajúca rovnica sa dá prepísat' do tvaru, ktorý vyjadruje tvrdenie, že komplexor je fázor, otáčajúci sa uhlovou rýchlosťou  $\omega_1$ . Odborné vzťahy je možné napísat' aj pre komplexor prúdov statora a rotora.

$$\hat{u}^S = \frac{2}{3}\hat{U}_m \frac{2}{3}e^{j\omega_1 t} = \hat{U}_m e^{j\omega_1 t} \quad (4.3.6)$$

Aj dvojfázový statorový systém  $\alpha$ ,  $\beta$  môže vytvoriť točivé magnetické pole.

Pre komplexor statorového napäťa (ako aj pre prúdy) platí

$$\hat{u}^S = u_\alpha^S + j \cdot u_\beta^S \quad (4.3.7)$$

Ak prejdeme na náhradné fiktívne vinutia  $d$ ,  $q$  spojené so systémom rotora, transformujeme statorové veličiny dvojfázového systému spojeného so súradnicovým systémom statora podľa

$$\hat{u}^R = \hat{u}^S e^{-j\vartheta} \quad (4.3.8)$$

Pri otáčaní rotoru, pri premenlivom uhle  $\vartheta$  medzi statorom a rotorom, sa mení magnetická väzba medzi vinutiami statoru a rotoru.

$$\vartheta = \int_0^t \omega dt + \vartheta_0 \quad (4.3.9)$$

Medzi  $d$ ,  $q$  a rotorovými vinutiami existuje pevná magnetická väzba.

Komplexor statorového napäťa v rotorovom súradnicovom systéme možno rozložiť na jednu zložku v smere osi  $d$  a druhú zložku v smere osi  $q$  podľa

$$\hat{u}^R = u_d + j \cdot u_q \quad (4.3.10)$$

pričom platí, že

$$u_d = \hat{u}_\alpha^S \cdot \cos \vartheta + \hat{u}_\beta^S \cdot \sin \vartheta \quad (4.3.11)$$

$$u_q = -\hat{u}_\alpha^S \cdot \sin \vartheta + \hat{u}_\beta^S \cdot \cos \vartheta$$

Z predchádzajúcich vzťahov (2.5.7, 8, 9) vyplýva, že

$$u_d + j \cdot u_q = \hat{u}^R = \hat{u}^S e^{-j\vartheta} = \frac{2}{3} \cdot \left( u_a + u_b e^{-j\frac{2\pi}{3}} + u_c e^{j\frac{2\pi}{3}} \right) \cdot e^{-j\vartheta} \quad (4.3.12)$$

Pre komplexor napäcia statoru v súradnicovom systéme rotora píšeme pre dvojpólový stroj

$$\hat{u}^R = u_d + j \cdot u_q = R \cdot (i_d + j \cdot i_q) + \frac{d}{dt} (\psi_d + j \psi_q) + j \omega \cdot (\psi_d + j \psi_q) \quad (4.3.13)$$

Postupne ako v [1] sa dá odvodiť pre zložky komplexora statorového napäcia v rotorovom súradnicovom systéme

$$u_d = R \cdot i_d + \frac{d}{dt} \psi_d - \omega \psi_q \quad (4.3.14)$$

$$u_q = R \cdot i_q + \frac{d}{dt} \psi_q - \omega \psi_d \quad (4.3.15)$$

Pre budiace vinutie B platí

$$u_B = R_B \cdot i_B + \frac{d}{dt} \psi_B \quad (4.3.16)$$

A pre spriahnuté magnetické toky  $\psi_d$ ,  $\psi_q$  v osiach d, q

$$\psi_d = L_d \cdot i_d + L_{dB} \cdot i_B \quad (4.3.17a)$$

$$\psi_q = L_q \cdot i_q \quad (4.3.17b)$$

kde  $L_d$ ,  $L_q$ ,  $L_B$  sú vlastné indukčnosti statorového a budiaceho vinutia v osiach d, q ;  $L_{dB}$  je vzájomná indukčnosť statorového a budiaceho vinutia v smere pozdĺžnej osi.

Pre elektromagnetický moment platí rovnako ako pri asynchronnom motore

$$M = \frac{3}{2} \cdot \frac{p_p}{\omega_1} \cdot \operatorname{Re} \left\{ -j \omega_1 \hat{\psi} * \hat{i} \right\}$$

$$M = \frac{3}{2} \cdot p_p \cdot (\psi_d \cdot i_q - \psi_q \cdot i_d) \quad (4.3.19)$$

kde  $p_p$  je počet pólových dvojíc motoru,  $\omega_1$  je rýchlosť rotácie komplexoru statorového prúdu.

Pohybová rovnica

$$M - M_z = \frac{J}{p_p} \cdot \frac{d}{dt} \omega = J \cdot \frac{d}{dt} \omega_m \quad (4.3.20)$$

kde  $\omega_m = \frac{\omega}{p_p}$  je uhlová rýchlosť  $2p_p$  pólového motora a  $\omega$  je uhlová rýchlosť dvojpólového motora.

Rovnice (4.3.13 až 20) predstavujú matematický model synchrónneho motora (s ohľadom na zanedbané tlmiace vinutia).

Predpokladáme motor s permanentným magnetom. Spriahnuté magnetické toky  $\psi_{d,q}$  prepíšeme tak, že budiace vinutie B (rovinka 4.3.16) nahradíme konštantou elektromotorickej sily  $K_E$

$$\psi_d = L_d \cdot i_d + K_E \quad (4.3.21)$$

$$\psi_q = L_q \cdot i_q$$

Dosadíme (4.3.21) do (4.3.14 a 4.3.15)

$$u_d = Ri_d + L_d \frac{d}{dt} i_d - L_q \omega i_q \quad (4.3.22)$$

$$u_q = Ri_q + L_q \frac{d}{dt} i_q + L_d \omega i_d + K_E \omega \quad (4.3.23)$$

Vyjadríme časové derivácie prúdov

$$\frac{d}{dt} i_d = \frac{1}{L_d} \cdot u_d - \frac{R}{L_d} \cdot i_d + \frac{L_q}{L_d} \cdot \omega i_q \quad (4.3.24)$$

$$\frac{d}{dt} i_q = \frac{1}{L_q} \cdot u_q - \frac{R}{L_q} \cdot i_q - \frac{L_d}{L_q} \cdot \omega i_d + \frac{K_E}{L_q} \cdot \omega \quad (4.3.25)$$

Ďalej dosadíme (4.3.21) do (4.3.19)

$$M = \frac{3}{2} p_p [(L_d - L_q) i_d i_q + K_E i_q] \quad (4.3.26)$$

A predchádzajúcu rovnicu do (4.3.20)

$$\frac{d}{dt} \omega = \frac{1}{J} \cdot \frac{3}{2} p_p \cdot (L_d - L_q) \cdot i_d i_q + \frac{1}{J} \cdot \frac{3}{2} p_p \cdot K_E \cdot i_q - \frac{1}{J} \cdot M_z \quad (4.3.27)$$

$$\frac{d}{dt} \theta = \omega \quad (4.3.28)$$

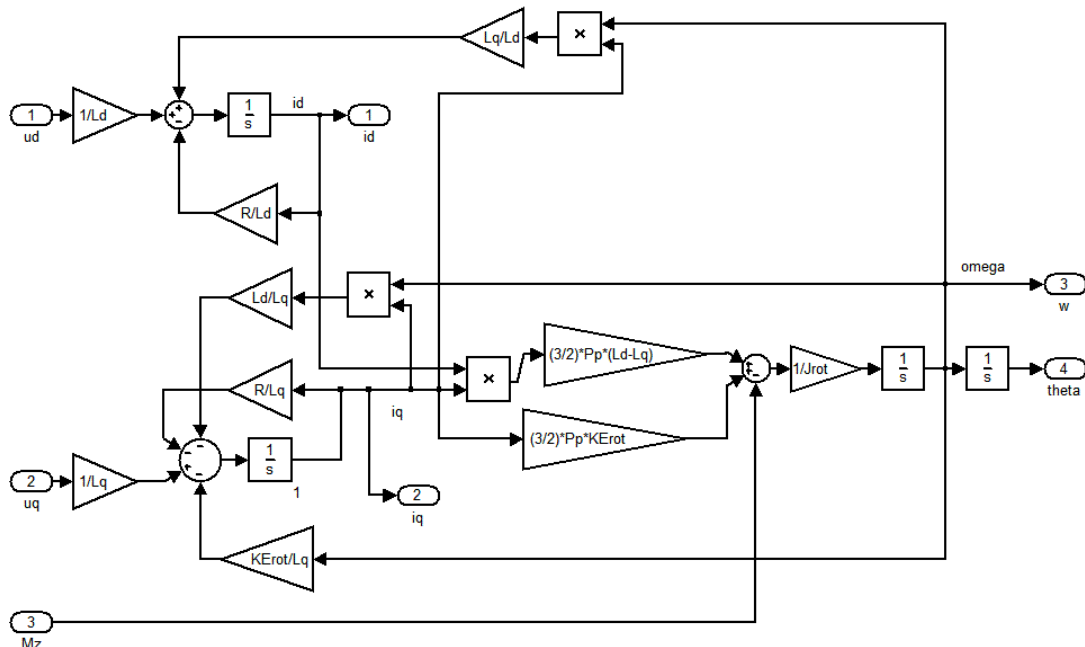
Rovnica (4.3.27) je stavová rovnica uhlového natočenia rotora. Rovnice (4.3.24, 4.3.25, 4.3.27 a 4.3.28) sú stavové rovnice modelu motoru. [1]:

$$\frac{d}{dt} i_d = \frac{1}{L_d} \cdot u_d - \frac{R}{L_d} \cdot i_d + \frac{L_q}{L_d} \cdot \omega i_q \quad (4.3.24)$$

$$\frac{d}{dt} i_q = \frac{1}{L_q} \cdot u_q - \frac{R}{L_q} \cdot i_q - \frac{L_q}{L_d} \cdot \omega i_d + \frac{K_E}{L_q} \cdot \omega \quad (4.3.25)$$

$$\frac{d}{dt} \omega = \frac{1}{J} \cdot \frac{3}{2} p_p \cdot (L_d - L_q) \cdot i_d i_q + \frac{1}{J} \cdot \frac{3}{2} p_p \cdot K_E \cdot i_q - \frac{1}{J} \cdot M_z \quad (4.3.27)$$

$$\frac{d}{dt} \theta = \omega \quad (4.3.28)$$



Obr. 4.1. Schéma modelu motora podľa stavových rovníc.

#### 4.4 DECOUPLING

V stavových rovniciach sa vyskytuje násobenie signálov  $i_d$ ,  $i_q$ ,  $\omega$ . Na odstránenie tăžko riešiteľných nelinearít použijeme

$$u_{d2} = u_{d1} - L_q \cdot \omega \cdot i_q \quad (4.4.1)$$

$$u_{q2} = u_{q1} + L_d \cdot \omega \cdot i_d + K_E \cdot \omega \quad (4.4.2)$$

Tieto vzťahy dosadíme do (4.3.22 a 4.3.23), pričom položíme  $u_d = u_{d2}$ ,  $u_q = u_{q2}$ . Dostaneme lineárne rovnice

$$u_{d1} = R i_d + L_d \frac{d}{dt} i_d \quad (4.4.3)$$

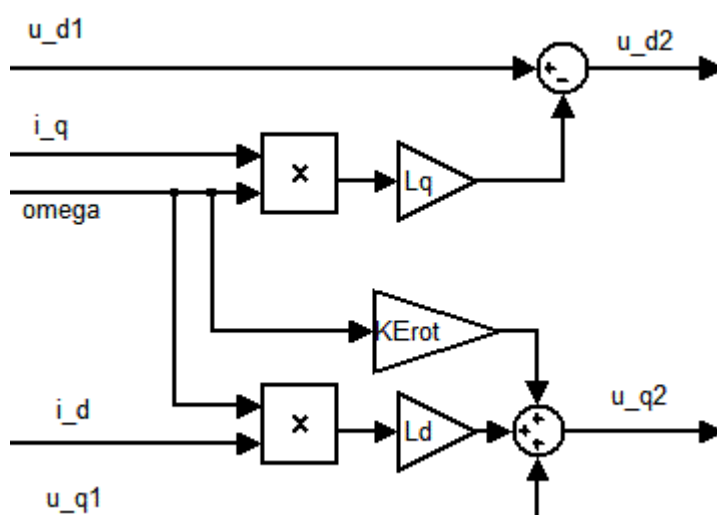
$$u_{q1} = R i_q + L_q \frac{d}{dt} i_q \quad (4.4.4)$$

Vyjadríme prúdy a získame prvé dve stavové rovnice motora ako lineárne

$$\frac{d}{dt} i_d = \frac{1}{L_d} \cdot u_{d1} - \frac{R}{L_d} \cdot i_d \quad (4.4.5)$$

$$\frac{d}{dt} i_q = \frac{1}{L_q} \cdot u_{q1} - \frac{R}{L_q} \cdot i_q \quad (4.4.6)$$

[6]



Obr. 4.2. Všeobecná schéma decouplingu.

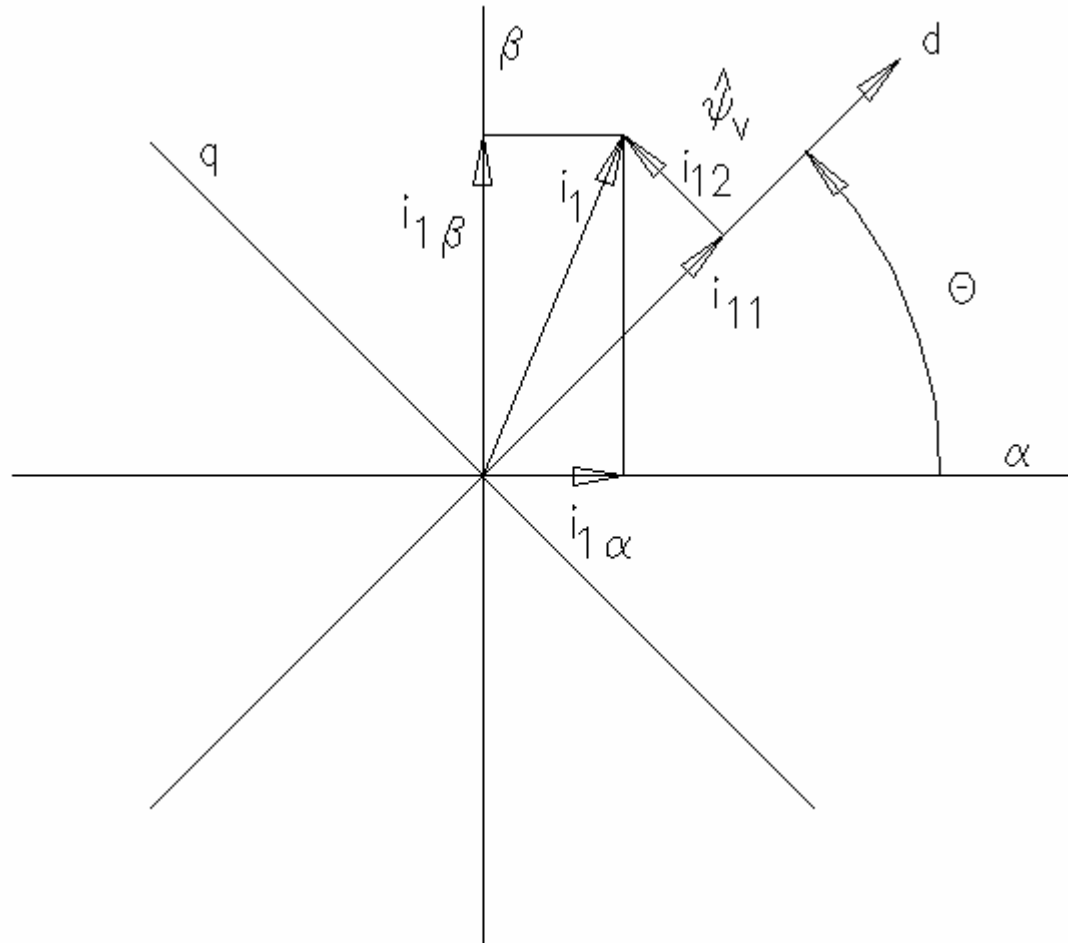
## **4.5 VEKTOROVÖ ORIENTOVANÉ RIADENIE POHONU (SPACE VECTOR CONTROL)**

Regulácia s vektorovým riadením motora predstavuje najdokonalejší spôsob automatickej regulácie chodu pohonu. Princípom je samostatné riadenie dvoch zložiek prúdu komplexoru statorového prúdu  $\hat{i}_1$ , z ktorých jedna zložka  $i_{11}$  je vo fáze s fázorom výsledného magnetického toku  $\hat{\psi}_v$  a druhá zložka  $i_{12}$  je naň kolmá. [4]

Zložka  $i_{12}$  vytvára s absolútou hodnotou  $\hat{\psi}_v$  moment a činný výkon motoru.

Zložka  $i_{11}$  vytvára magnetický tok a jalový výkon. Zmena jednej zložky sa dá uskutočniť nezávisle na druhej zložke. Môžeme teda osobitne riadiť moment a výsledný magnetický tok. [1]

V praxi sa táto regulácia uskutočňuje dvoma regulátormi. Prvý regulátor na základe žiadanej hodnoty točivého momentu reguluje zložku  $i_{12}$  komplexoru statorového prúdu  $\hat{i}_1$ . Druhý regulátor udržuje židaný magnetický tok, a teda zložku  $i_{11}$  komplexoru  $\hat{i}_1$ . Za oboma regulátormi sa nachádzajú bloky výpočtu žiadanej absolútnej hodnoty zložiek  $i_{1\alpha}$  a  $i_{1\beta}$  prúdového komplexora v súradnicovej sústave statora. Z tohto sa ďalej vypočítajú židané fázové prúdy statoru. Predstavujú židané hodnoty pre ďalšie regulátory, ktoré kontrolujú frekvenčný menič, ktorý reguluje skutočné fázové prúdy vo fázach U, V, W tak, aby sa tieto svojou absolútou hodnotou a fázou zhodovali so svojimi židanými hodnotami. V spätnej väzbe je zaradený člen, ktorý vyhodnocuje absolútnu hodnotu komplexora magnetického toku  $\hat{\psi}_v$  a privádza ju k regulátoru hodnoty  $i_{11}$ . Je zavedená aj druhá spätná väzba, ktorá privádza nameranú rýchlosť otáčania motora k regulátoru zložky  $i_{12}$ . [4]



Obr. 4.3. Vektorové riadenie [4].  $\hat{\psi}_v$  je fázor magnetického toku motoru,  $\hat{i}_1$  komplexor statorového prúdu so zložkami  $i_{11}$  a  $i_{12}$  v rotujúcej súradnicovej sústave magnetického toku  $d$ ,  $q$  a  $i_{1\alpha}$ ,  $i_{1\beta}$  v pevnej súradnicovej sústave statoru  $\alpha$ ,  $\beta$  a  $\theta$  je okamžitá uhlová poloha rotoru.

## 5. RIADENIE MOTORA

### 5.1 PARAMETRE LINEÁRNEHO MOTORA

Boli zvolené parametre lineárneho motora podľa nasledujúcej tabuľky.

| Elektrické parametre               | Hodnota | Poznámka                                |
|------------------------------------|---------|---|
| K <sub>E</sub> (Line-Line) [V.s/m] | 154,31  | Konštanta spätej elektromotorickej sily |
| R pri 25°C (Line-Line) [Ω]         | 13,6    | Odpor vinutia                           |
| L <sub>d</sub> (Line-Line) [mH]    | 12,0    | Indukčnosť vinutia                      |
| L <sub>q</sub> (Line-Line) [mH]    | 12,0    | Indukčnosť vinutia                      |
| <b>Mechanické parametre</b>        |         |   |
| Dĺžka rotora [m]                   | 0,382   |   |
| Hmotnosť rotora [kg]               | 3,40    |   |
| Dĺžka statora [m]                  | 0,720   |   |
| Rozstup pólov [m]                  | 0,030   |   |
| Maximálna teplota vinutia [°C]     | 125     |   |
| <b>Výkonové parametre</b>          |         |   |
| Menovitá sila [N]                  | 577,2   |   |

Tab. 5.1. Parametre zvoleného lineárneho motora.

### 5.2 PREPOČET LINEÁRNYCH PARAMETROV NA ROTAČNÉ A NASPÄŤ

Kedže fyzikálny model motora bol odvodený pre rotačný pohyb, prepočítame skúmané veličiny z rotačného pohybu na pohyb translačný. Parametre lineárneho motora prepočítané na svoje rotačné ekvivalenty sa použijú na simuláciu a výsledky tejto simulácie sa späť prevedú na výstupné hodnoty zodpovedajúce translačnému pohybu.

Základom prevodu bude stanovenie prepočítavacieho polomeru  $r$ . Fyzická mechanická dĺžka rotora je 0,382 m a rozstup pólov 0,030 m. Z toho vyplýva, že rotor obsahuje 12 pólov ( $0,382/0,030=12,73$ ). Elektrická dĺžka rotora bude teda

$$L = 12 \cdot 0,030 \text{ m} = 0,360 \text{ m}$$

Stator a rotor lineárneho motoru vznikli rozvinutím kruhového statora a rotora rotačného motora. Preto  $L$  zodpovedá  $2\pi$  rad.

$$r = \frac{L}{2\pi} \quad (5.2.1)$$

Translačnú rýchlosť  $v_t$  a posunutie  $d$  získame zo vzťahov

$$v_t = \omega \cdot r \quad (5.2.2)$$

$$d = \theta \cdot r \quad (5.2.3)$$

kde  $\omega$  je uhlová rýchlosť a  $\theta$  uhlové natočenie.

Spätnú elektromotorickú konštantu prepočítame z translačnej hodnoty  $K_{Etrans}$  na rotačnú hodnotu  $K_{Erot}$

$$K_{Erot} = \frac{L}{2\pi} \cdot K_{Etrans} \quad (5.2.4)$$

Predpokladáme, že lineárny motor pri svojej činnosti premiestňuje určitú celkovú hmotnosť  $m_c$ , ktorá sa skladá z vlastnej hmotnosti rotora  $m_m$  a hmotnosti užitočnej záťaže  $m_z$ .

$$m_c = m_m + m_z \quad (5.2.5)$$

V rotačnom motore tomu zodpovedá moment zotrvačnosti  $J$  od všetkých hmôt, pohybujúcich sa v systéme, pre ktorý platí

$$J = m_c \cdot r^2 \quad (5.2.6)$$

Záťažný moment  $M_z$  zohľadňuje iba hmotnosť záťaže  $m_z$

$$M_z = m_z \cdot g \cdot r \quad (5.2.7)$$

kde  $g$  je gravitačné zrýchlenie ( $g = 9,80665 \text{ m.s}^{-2}$ ).

Pri horizontálnom presune záťaže sa uplatňuje iba trenie v mechanických častiach, čo rešpektujeme zavedením koeficientu trenia 0,005, ktorým násobíme záťažný moment  $M_z$ .

### 5.3 VSTUPNÉ HODNOTY PRE SIMULÁCIU

Parametre označené Line-Line je potrebné pre účely zadania do simulácie upraviť vydelením 2-mi. Tým dostávame konštanty pre simulačný model.

| Veličina                    | Hodnota            | Poznámka   |
|-----------------------------|--------------------|--|
| R [Ω]                       | 6,8                | Odpor vinutí statora                             |
| L <sub>d</sub> [H]          | 6.10 <sup>-3</sup> | Indukčnosť statora v zmere osi d                 |
| L <sub>q</sub> [H]          | 6.10 <sup>-3</sup> | Indukčnosť statora v zmere osi q                 |
| P <sub>p</sub> [-]          | 6                  | Počet pólových dvojíc                            |
| Leng [m]                    | 0,360              | Elektrická dĺžka rotora                          |
| m <sub>m</sub> [kg]         | 3,4                | Hmotnosť rotora                                  |
| K <sub>Etrans</sub> [V.s/m] | 77,155             | Automaticky sa prepočítava na rotačný ekvivalent |
| m <sub>z</sub> max [kg]     | 58,858             | Maximálna hmotnosť záťaže                        |
| d max [m]                   | 0,720              | Maximálne translačné posunutie                   |

Tab. 5.2. Konštanty simulačného modelu.

### 5.4 NÁVRH REGULAČNÉHO OBVODU

#### 5.4.1 Bloková schéma

Model motora zodpovedá stavovým rovniciam (4.3.24), (4.3.25), (4.3.27) a (4.3.28).

$$\frac{d}{dt} i_d = \frac{1}{L_d} \cdot u_d - \frac{R}{L_d} \cdot i_d + \frac{L_q}{L_d} \cdot \omega i_q \quad (4.3.24)$$

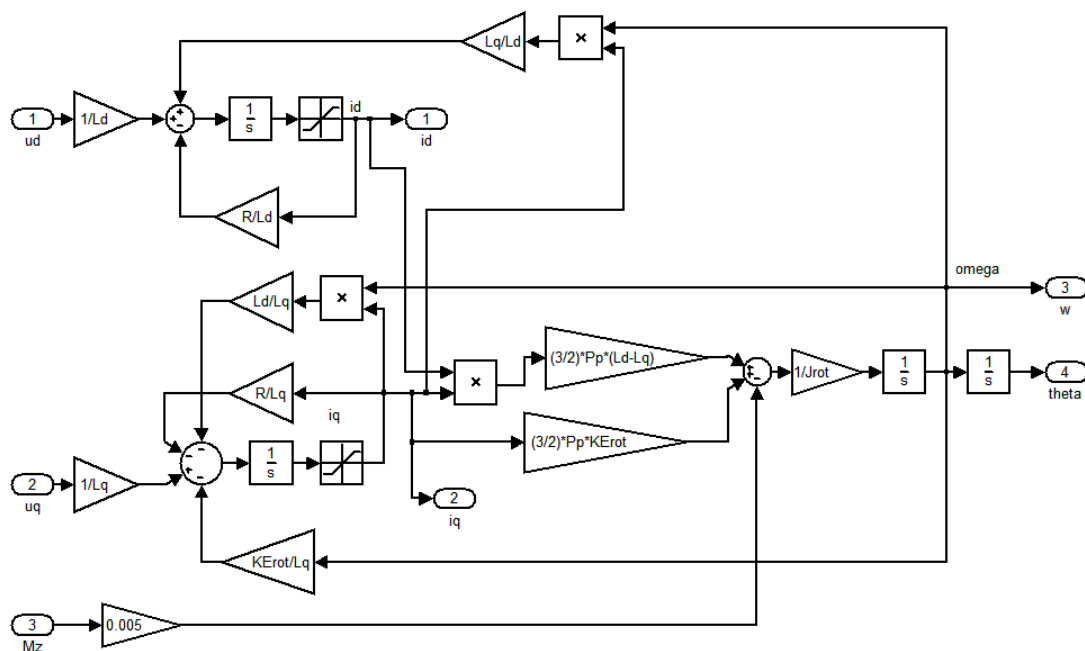
$$\frac{d}{dt} i_q = \frac{1}{L_q} \cdot u_q - \frac{R}{L_q} \cdot i_q - \frac{L_q}{L_d} \cdot \omega i_q + \frac{K_E}{L_q} \cdot \omega \quad (4.3.25)$$

$$\frac{d}{dt} \omega = \frac{1}{J} \cdot \frac{3}{2} p_p \cdot (L_d - L_q) \cdot i_d i_q + \frac{1}{J} \cdot \frac{3}{2} p_p \cdot K_E \cdot i_q - \frac{1}{J} \cdot M_z \quad (4.3.27)$$

$$\frac{d}{dt} \theta = \omega \quad (4.3.28)$$

Tento model je znázornený na Obr. 4.1.

Aby model motora viac zodpovedal realite, zaviedla som obmedzenia prúdov  $i_d$ ,  $i_q$ . Ďalej, na simuláciu pohybu rotora v horizontálnej rovine som zaviedla koeficient trenia 0,005, ktorým násobím záťažný moment  $M_z$ . Výsledný stav znázorňuje Obr. 5.1.



Obr. 5.1. Model motora so zavedenými obmedzeniami prúdov  $i_d$ ,  $i_q$  a koeficientom trenia

V danej regulačnej sústave použijeme regulačiu prúdov  $i_d$ ,  $i_q$ , uhlovej rýchlosťi  $\omega$  a regulačiu uhlového natočenia  $\theta$ .

Regulátor prúdov  $i_d, i_q$  navrhujeme ako PI v tvare

$$R_{id}(p) = K_{d1} \cdot \frac{(T_{d1}p + 1)}{p}, \text{ resp. } R_{iq}(p) = K_{q1} \cdot \frac{(T_{q1}p + 1)}{p} \quad (5.4.1a,b)$$

S použitím rovníc decouplingu prejdú stavové rovnice (4.3.24) a (4.3.25) na tvar

$$\frac{d}{dt} i_d = \frac{1}{L_d} \cdot u_{d1} - \frac{R}{L_d} \cdot i_d \quad (4.4.5)$$

$$\frac{d}{dt} i_q = \frac{1}{L_q} \cdot u_{q1} - \frac{R}{L_q} \cdot i_q \quad (4.4.6)$$

Z čoho sa dajú odvodiť prenosové funkcie

$$F_{id}(p) = \frac{I_d(p)}{U_{d\_m}(p)} = \frac{1}{L_d \cdot p + R} \quad (5.4.2a)$$

$$F_{iq}(p) = \frac{I_q(p)}{U_{q\_m}(p)} = \frac{1}{L_q \cdot p + R} \quad (5.4.2b)$$

Je výhodné zvoliť predbežne nastavenie PI regulátorov prúdu tak, aby sa krátila nula regulátorov s pólem prenosov.

Regulátor uhlovej rýchlosťi  $\omega$  navrhujeme ako PID

$$R_\omega(p) = K_\omega \cdot \frac{(T_1p + 1)(T_2p + 1)}{p(\varepsilon p + 1)} \quad (5.4.3)$$

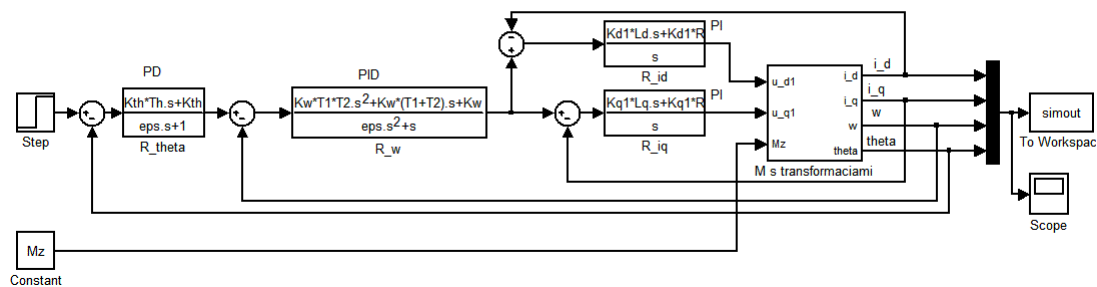
kde  $\varepsilon$  je realizačná časová konštantá, nastavená  $\varepsilon = 0,001$  s.

Regulátor uhlového natočenia  $\theta$  navrhujeme ako PD

$$R_\theta(p) = K_\theta \cdot \frac{(T_\theta p + 1)}{(\varepsilon p + 1)} \quad (5.4.4)$$

kde  $\varepsilon$  je realizačná časová konštantá, nastavená  $\varepsilon = 0,001$  s.

Celková schéma riadenia s regulátormi bude potom vyzeráť ako na Obr. 5.2.

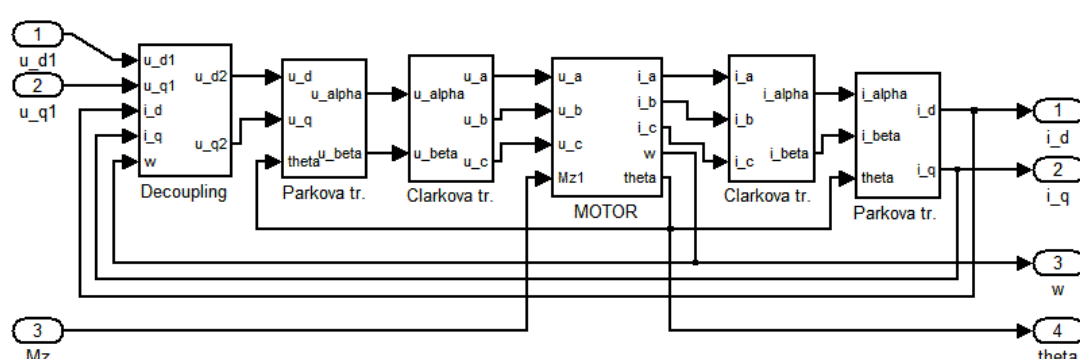


Obr. 5.2. Celková schéma riadenia s regulátormi.

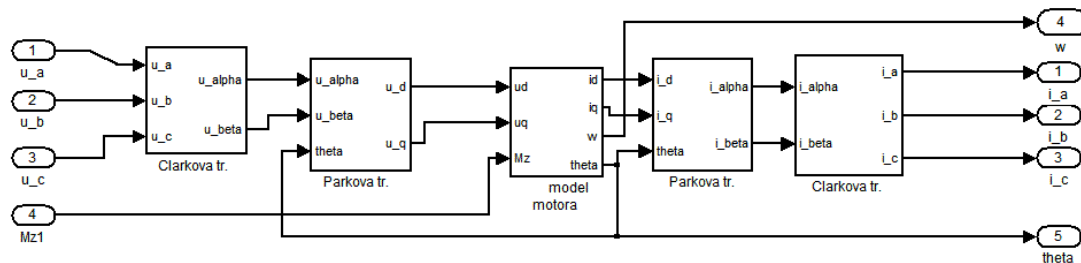
Regulačné zásahy regulátorov prúdu smerujú do bloku decouplingu, ktorý pracuje podľa kapitoly 4.4.

Aby sme boli schopní merať prúdy fáz  $i_a$ ,  $i_b$ ,  $i_c$  a napäťia  $u_a$ ,  $u_b$ ,  $u_c$ , zaviedli sme sústavu blokov priamych a spätných Parkovych a Clarkovych transformácií, ktoré transformujú fázové veličiny a,b,c na veličiny v súradnicovej sústave d,q.

Blok „M s transformáciami“ je znázornený na Obr. 5.3. Blok „MOTOR“ je na Obr. 5.4. Vo vnútornom bloku „model motora“ sa nachádza Obr. 5.1.



Obr. 5.3. Blok M s transformáciami.



Obr. 5.4. Blok Motor.

#### 5.4.2 Kritériá kvality regulácie

Na posúdenie kvality regulácie som použila kritériá kvality regulácie, ktoré zohľadňujú dynamické vlastnosti obvodu, napr. rýchlosť odoznenia, maximálny prekmit a kmitavosť prechodného deja.

Modifikované kritérium usmernenej lineárnej plochy sa na rozdiel od lineárneho integrálneho kritéria dá použiť aj na skúmanie kmitavých dejov. Nevýhodou je výpočet absolútnej hodnoty. Definuje sa ako

$$J_{UL} = \int_0^{\infty} |e(t) - e(\infty)| dt \quad (5.4.5)$$

kde  $e(t)$  je regulačná odchýlka v čase  $t$  a  $e(\infty)$  je ustálená regulačná odchýlka.

Kvadratické integrálne kritérium favorizuje rýchlu elimináciu odchýlky aj za cenu jej väčšej kmitavosti. Platí preň

$$J_K = \int_0^{\infty} [e(t) - e(\infty)]^2 dt \quad (5.4.6)$$

Kritérium ITAE (Integral of Time multiplied by Absolute Value of Error) patrí medzi váhové kritériá, kde závažnosť odchýlky narastá lineárne s časom. Odstraňuje tak nevýhodu kvadratického kritéria (vysoký prekmit).

$$J_{ITAE} = \int_0^{\infty} |e(t) - e(\infty)| t dt \quad (5.4.7)$$

### 5.4.3 Konštanty pre regulátory

Konštanty pre regulátory boli navrhnuté s využitím kritérií kvality regulácie, zvážením vplyvu variability parametrov a ako aj s ohľadom na maximálny prekmit prúdov.

Pre uvedený model boli prakticky prevedené výpočty regulačných plôch podľa kapitoly 5.4.2. s uvažovaním rôznych hodnôt zosilnení a časových konštánt.

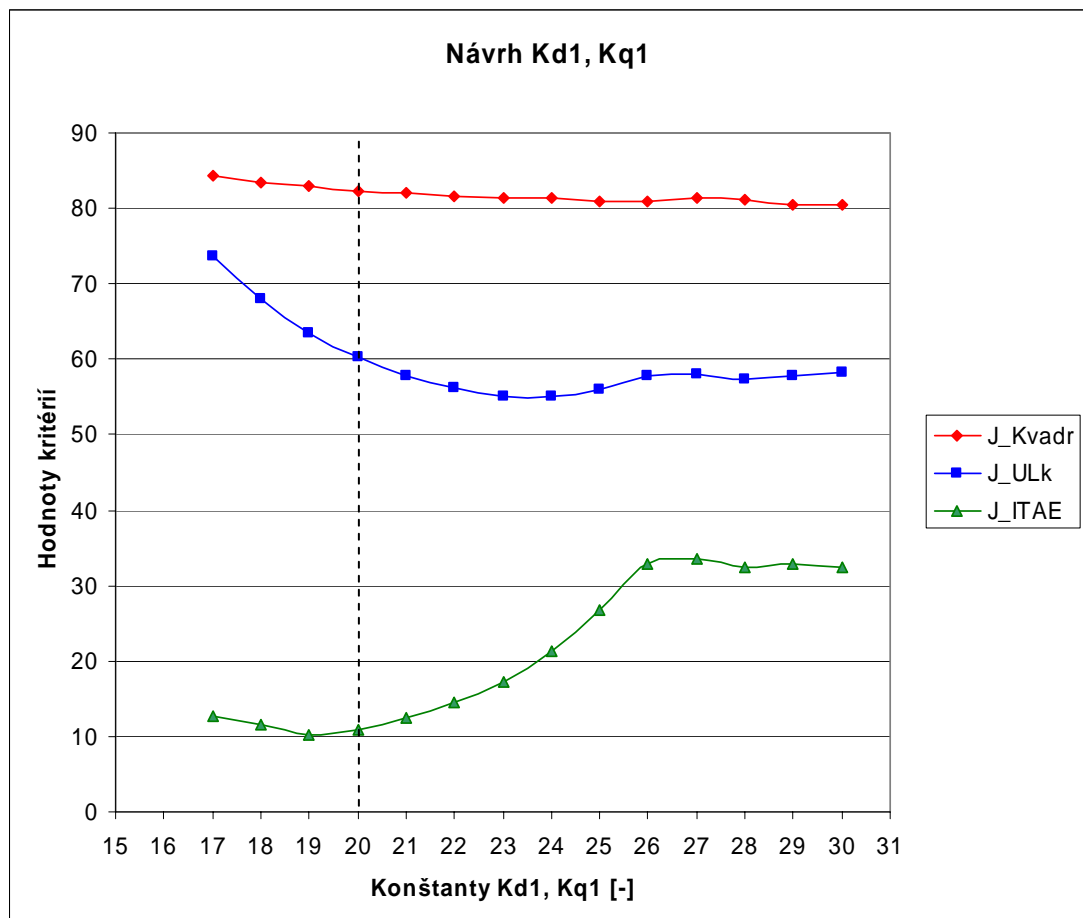
Z uvedenej celkovej schémy vyplýva, že potrebujeme nastaviť nasledujúce zosilnenia a časové konštanty regulátorov uvedené v tabuľke.

Na základe závislosti kvality regulácie na hodnotách zosilnení a konštánt regulátorov boli vybrané nasledujúce hodnoty. Tabuľka zohľadňuje aj kontrolu na maximálne prekmity prúdu.

| Regulátor  | Konštantá  | Hodnota   |
|------------|------------|-----------|
| $R_{id}$   | $K_{d1}$   | [-] 20    |
| $R_{iq}$   | $K_{q1}$   | [-] 20    |
| $R_\omega$ | $K_\omega$ | [-] 4     |
|            | $T_1$      | [s] 0,110 |
|            | $T_2$      | [s] 0,020 |
|            | $\epsilon$ | [s] 0,001 |
| $R_\theta$ | $K_\theta$ | [-] 3     |
|            | $T_\theta$ | [s] 0,002 |
|            | $\epsilon$ | [s] 0,001 |

Tab. 5.3. Nastavenie regulátorov.

Príklad závislosti kriteriálnych hodnôt od zosilňovacích konštánt :



Obr. 5.5. Návrh zosilňovacích konštant prúdových regulátorov.

## **6. VPLYV ZMIEN PARAMETROV MOTORA NA REGULÁCIU**

Väčšina parametrov motora zvolených podľa kapitoly 5.3 ostáva v prevádzke konštantná ( $L_d$ ,  $L_q$ ,  $p_p$ ,  $K_E$ ).

Zahrievaním súčasti motoru sa mení odpor  $R$  jeho vinutí. Tiež je možné meniť hmotnosť pasívnej zát'aže  $m_z$  v určených medziach.

### **6.1 TEPLITNÉ ZMENY ODPORU VINUTÍ R**

Odpor vinutí pri teplote 25 °C je  $R_{25^\circ\text{C}} = 6,8 \Omega$ . Maximálna teplota vinutia je 125 °C. Rozsah teplôt, pri ktorých motor pracuje, je teda viac ako 100 °C. V tomto teplotnom rozsahu odpor  $R$  zvyšuje svoju hodnotu až o 39 %, ako vidno z priloženej tabuľky.

Odpor medi, z ktorej je zhorené vinutie, sa mení s rastúcou teplotou podľa vzťahu

$$R = R_{ref} \cdot [\alpha_{Cu} \cdot (T - T_{ref}) + 1] \quad (6.1.1)$$

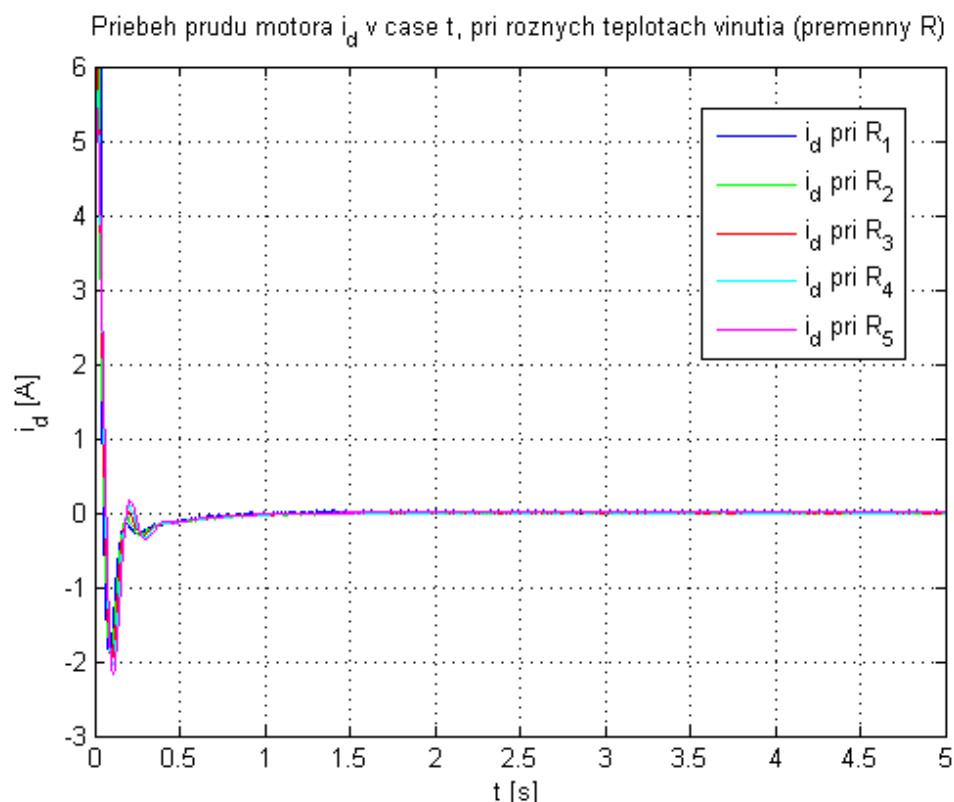
kde  $R$  je odpor pri danej teplote  $T$ ,  $R_{ref}$  je odpor pri referenčnej teplote  $T_{ref}$ ,  $\alpha_{Cu}$  je teplotný koeficient rezistivity elektrotechnickej medi, rovný  $\alpha_{Cu} = 3,900 \cdot 10^{-3} \text{ K}^{-1}$ . [12]

Na skúmanie závislosti som vybrať pät' teplôt v rozsahu 25 °C až 125 °C. Podľa vyššie uvedeného vzťahu som získala príslušné teploty vinutia a otestovala odolnosť regulácie.

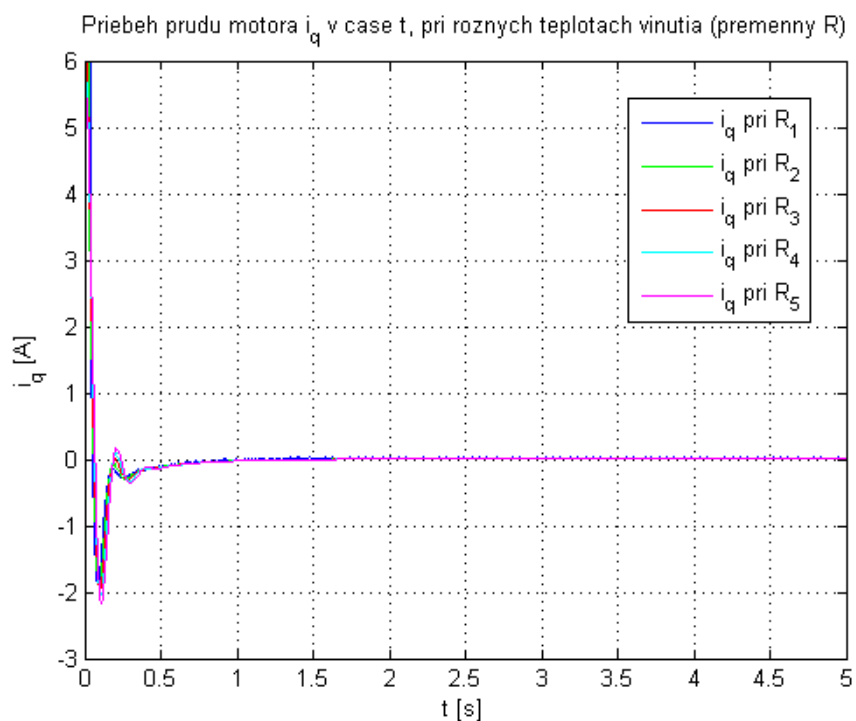
Pri skúmaní vplyvu zmien odporu  $R$  bolo žiadane posunutie nastavené na  $d = 0,720 \text{ m}$  a hmotnosť zát'aže  $m_z = 58,8580 \text{ kg}$ .

| $t$<br>[°C] | $R_t$<br>[Ω] | Značenie v grafoch |
|-------------|--------------|--------------------|
| 25          | 6,8000       | $R_1$              |
| 50          | 7,4630       | $R_2$              |
| 75          | 8,1260       | $R_3$              |
| 100         | 8,7890       | $R_4$              |
| 125         | 9,4520       | $R_5$              |

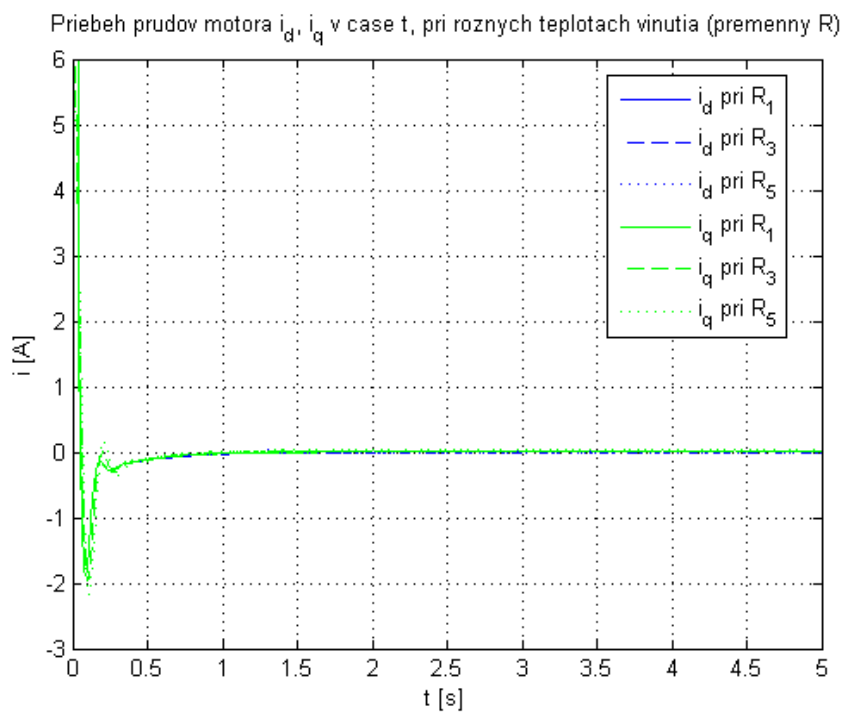
Tab. 6.1. Zvolené teploty a príslušné odpory.



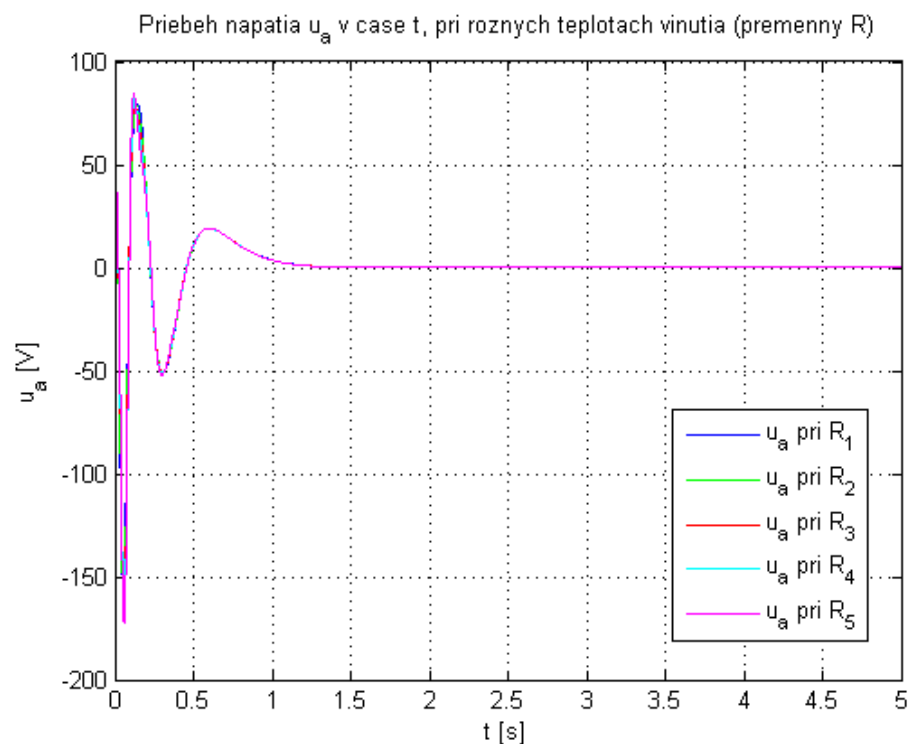
Obr. 6.1. Priebeh prúdu  $i_d$  pri rôznych teplotách vinutia.



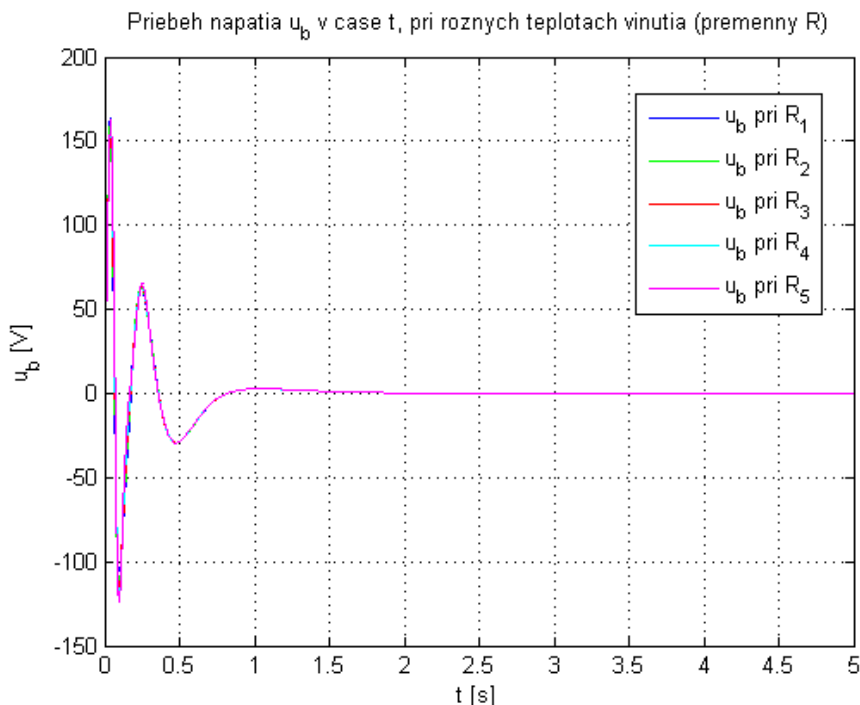
Obr. 6.2. Priebeh prúdu  $i_q$  pri rôznych teplotách vinutia.



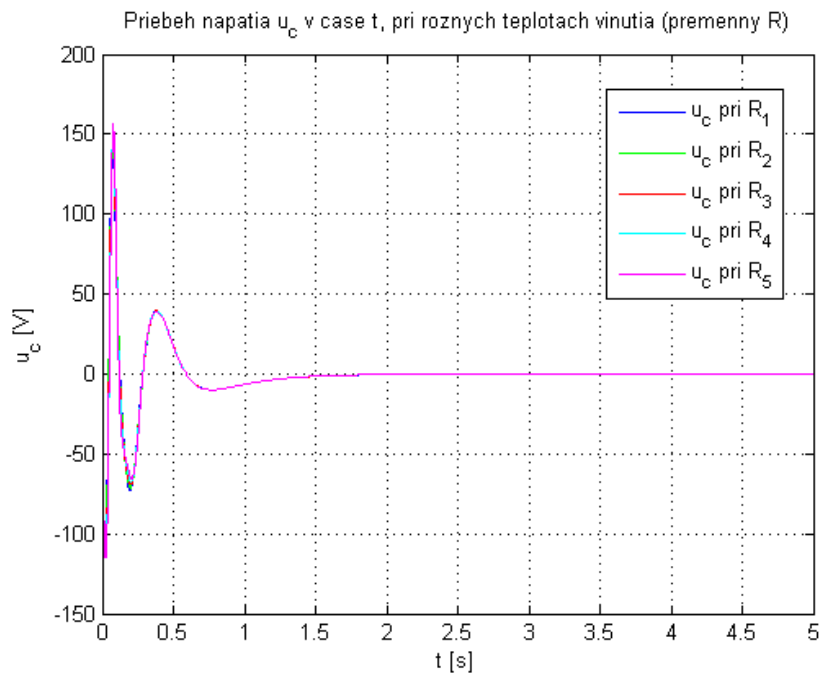
Obr. 6.3. Priebeh prudov  $i_d$ ,  $i_q$  pri rôznych teplotách vinutia



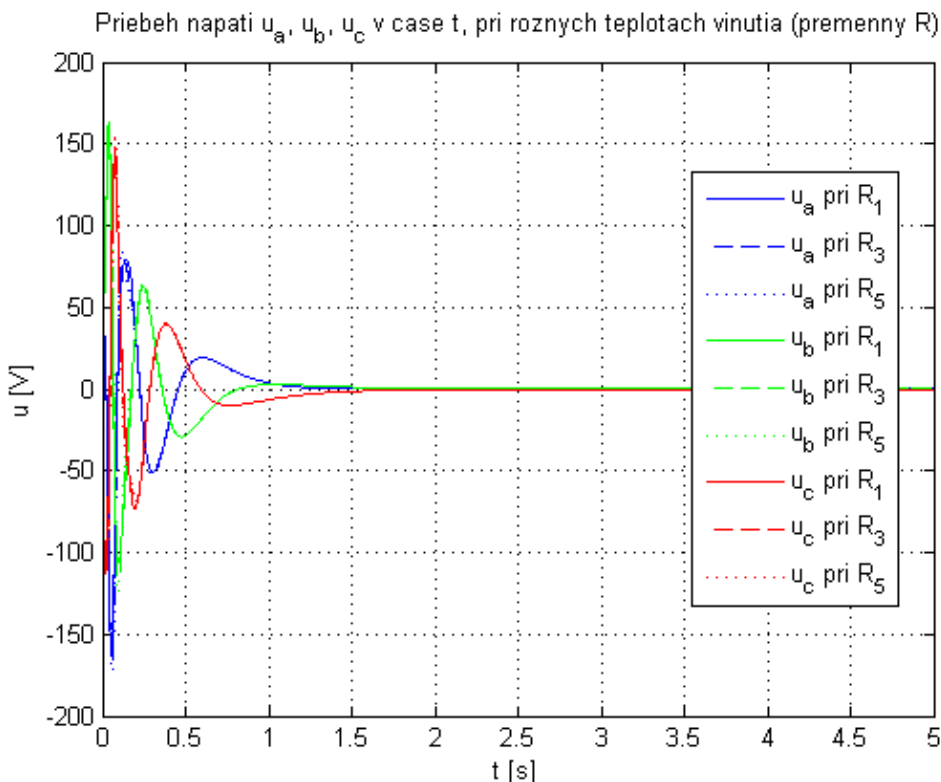
Obr. 6.4. Priebeh napäťia  $u_a$  pri rôznych teplotách vinutia.



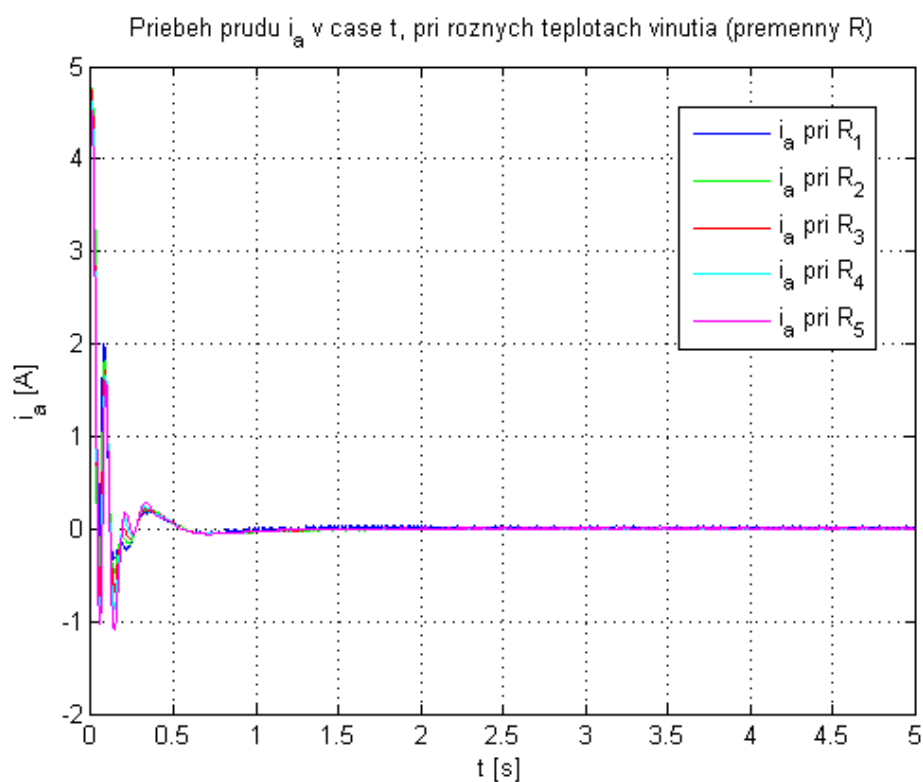
Obr. 6.5. Priebeh napäťia  $u_b$  pri rôznych teplotách vinutia.



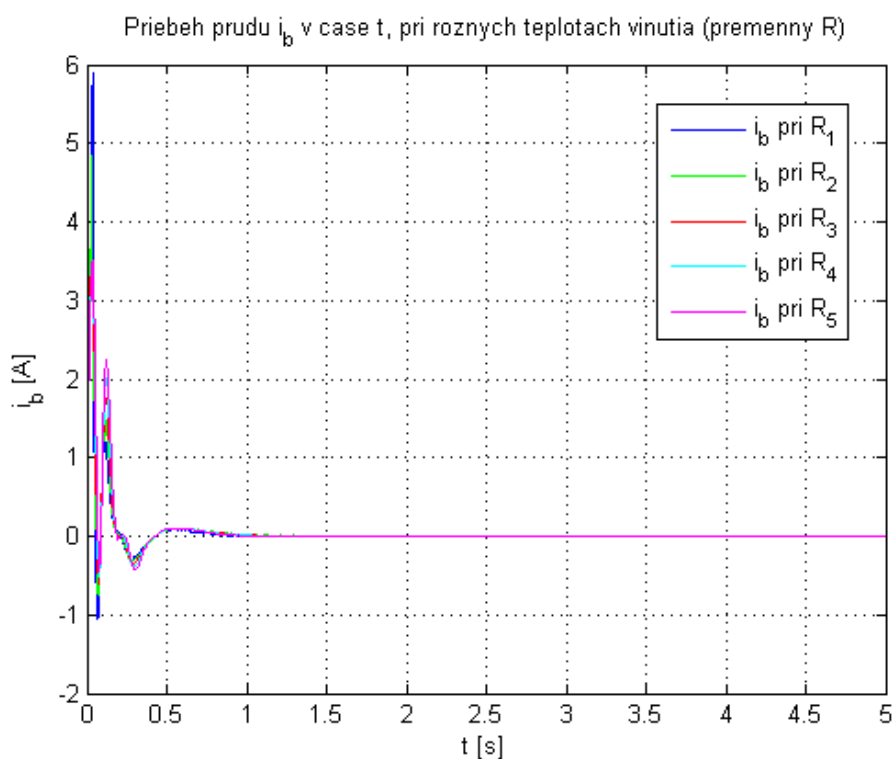
Obr. 6.6. Priebeh napäťia  $u_c$  pri rôznych teplotách vinutia.



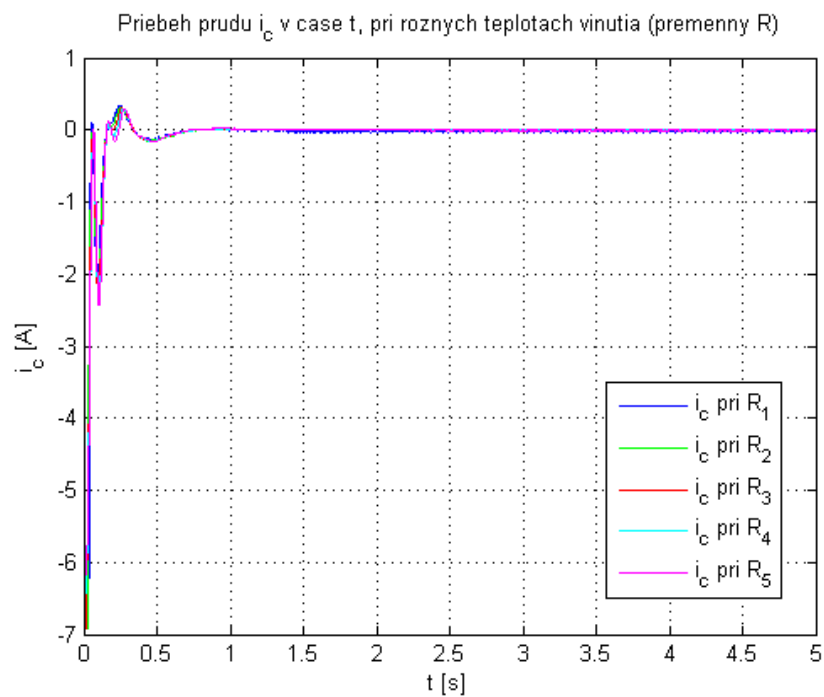
Obr. 6.7. Priebeh napäťí  $u_a$ ,  $u_b$ ,  $u_c$  pri rôznych teplotách vinutia.



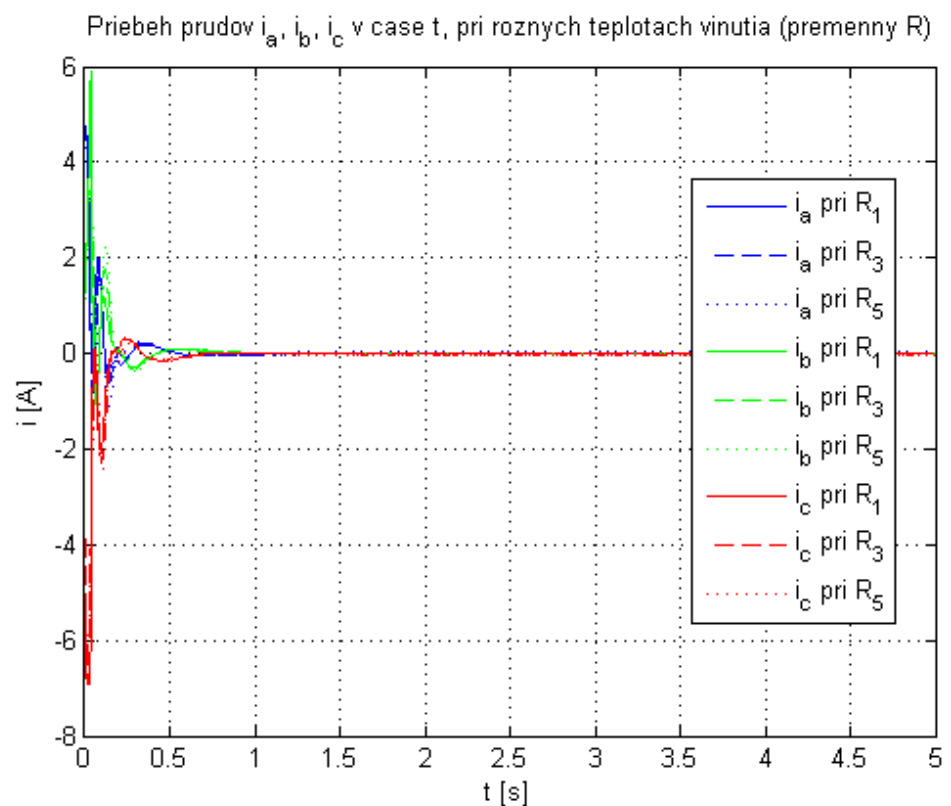
Obr. 6.8. Priebeh prúdu  $i_a$  pri rôznych teplotách vinutia.



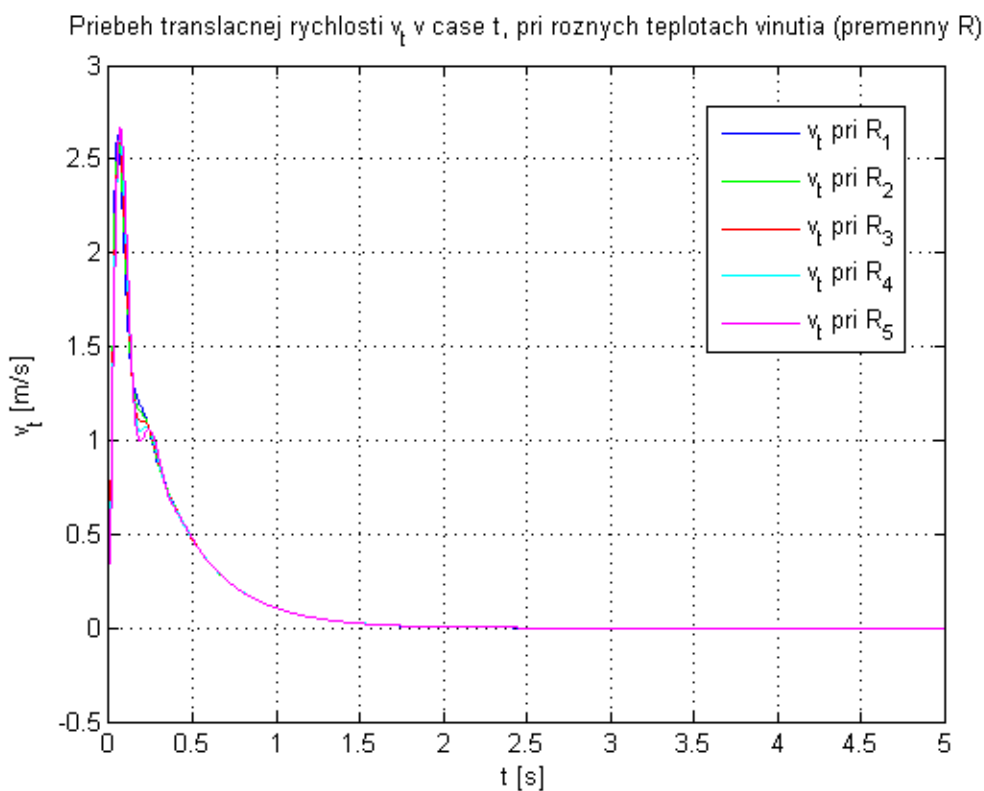
Obr. 6.9. Priebeh prúdu  $i_b$  pri rôznych teplotách vinutia



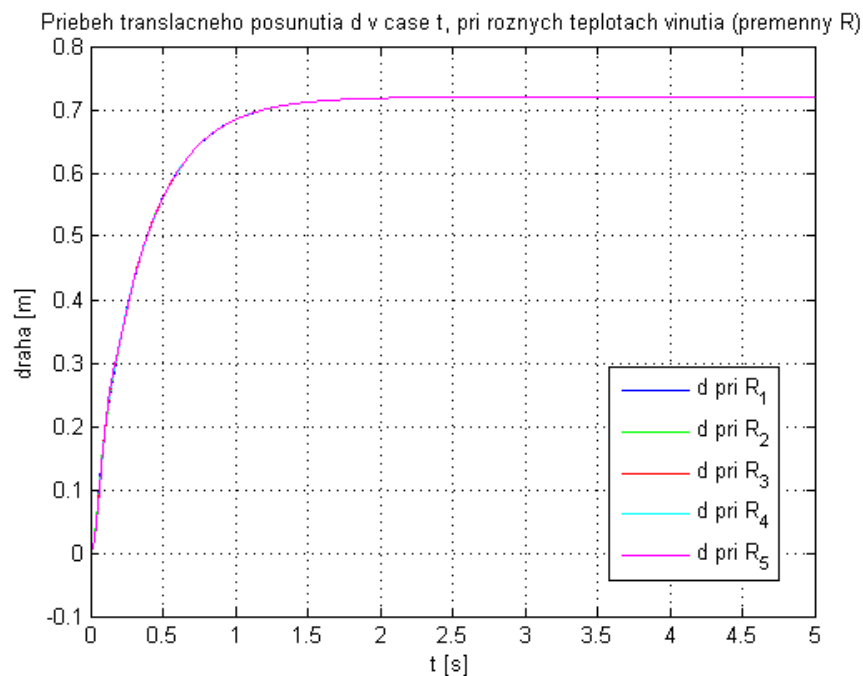
Obr. 6.10. Priebeh prúdu  $i_c$  pri rôznych teplotách vinutia



Obr. 6.11. Priebeh prudov  $i_a$ ,  $i_b$ ,  $i_c$  pri rôznych teplotách vinutia



Obr. 6.12. Priebeh translacnej rýchlosťi  $v_t$  pri rôznych teplotach vinutia.



Obr. 6.13. Priebeh translacného posunutia d pri rôznych teplotach vinutia.

Významným parametrom hodnotenia kvality regulácie je čas ustálenia (settling time). Časom ustálenia rozumieme dobu, za ktorú odozva systému na jednotkový skok vojde do pásma 95-105 % žiadanej hodnoty, a už z nej nevyjde (error band; alternatívne sa môže použiť  $\pm 10\%$  konečnej hodnoty). [14]

|       | Settling time [s] |          |         |
|-------|-------------------|----------|---------|
| Odpór | $v_t$             | $\theta$ | $d$     |
| R1    | 1,25931           | 1,00671  | 1,00671 |
| R2    | 1,25935           | 1,00398  | 0,92098 |
| R3    | 1,26137           | 1,00497  | 1,00497 |
| R4    | 1,26096           | 1,00562  | 1,00562 |
| R5    | 1,26008           | 1,00464  | 1,00464 |

Tab.6.2. Časy ustálenia pre sledované hodnoty.

Rešpektovanie zmien hodnoty  $R$  ukázalo na nevhodné kmitanie hodnôt prúdov  $i_d$ ,  $i_q$ , na základe čoho som opravila konštanty regulátora, čo je už zohľadnené v tabuľke v kapitole 5.4.3.

Po tejto zmene sa nastavená regulácia dokáže dobre vyrovnať s teplotnými zmenami odporu.

## 6.2 ZMENY HMOTNOSTI ZÁŤAŽE

Menovitá sila, ktorú je schopný motor trvalo vyuvíjať, je  $F = 577,2$  N. Z toho vyplýva maximálna hmotnosť záťaže

$$m_{z,\max} = \frac{F}{g} = \frac{577,2\text{ N}}{9,80665\text{ m/s}^2} = 58,8580 \text{ kg}$$

Na skúmanie závislosti som vybrala päť rôznych hmotností záťaže. V tomto prípade sa však s hmotnosťou záťaže  $m_z$  menia aj ďalšie veličiny, celková hmotnosť  $m_c$ , moment zotrvačnosti  $J$  a záťažný moment  $M_z$ .

$$m_c = m_m + m_z \quad (5.2.5)$$

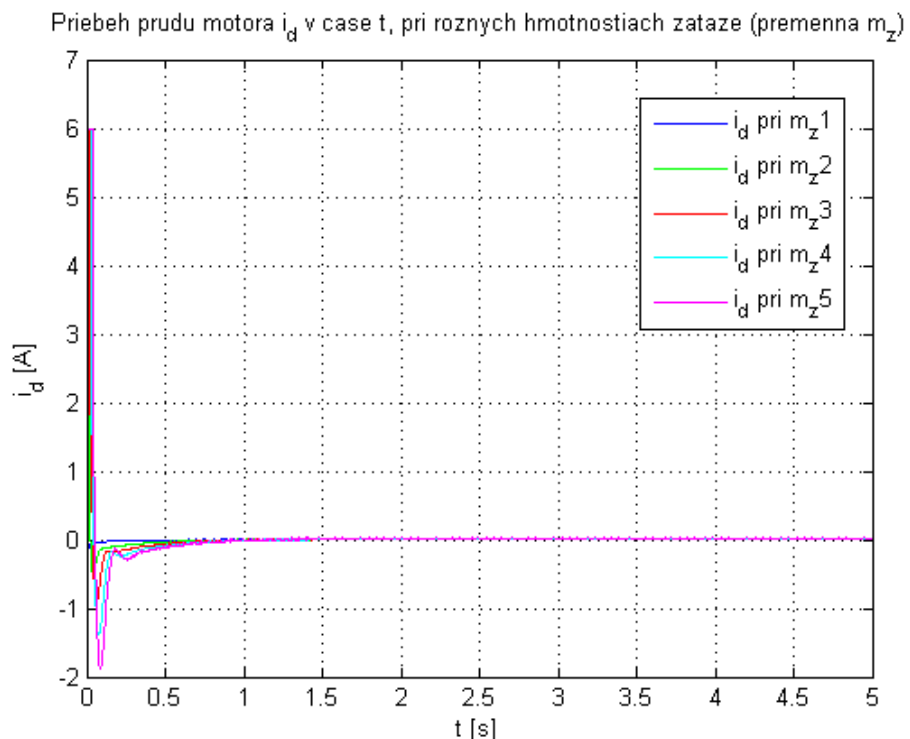
$$J = m_c \cdot r^2 \quad (5.2.6)$$

$$M = m_z \cdot g \cdot r \quad (5.2.7)$$

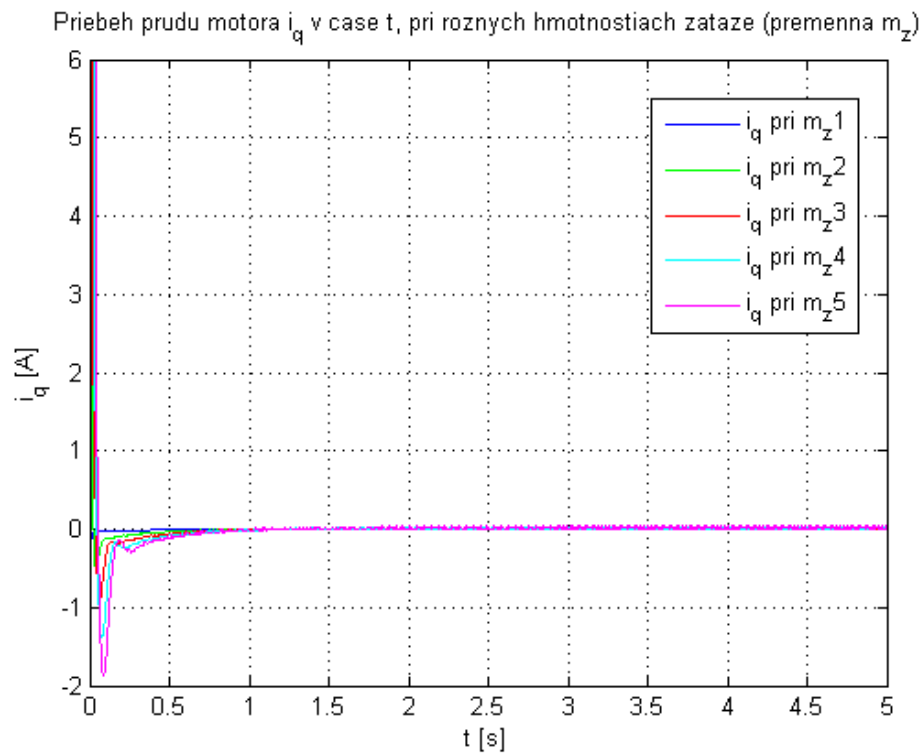
Pri skúmaní vplyvu zmien hmotnosti záťaže  $m_z$  bolo žiadane posunutie nastavené na  $d = 0,720$  m a odpor na  $R = 6,8 \Omega$ .

| <b><math>m_z</math></b><br>[kg] | <b><math>M_z</math></b><br>[N.m] | <b><math>J_{\text{rot}}</math></b><br>[kg.m <sup>2</sup> ] | <b>Značenie v grafoch</b> |
|---------------------------------|----------------------------------|--|---------------------------|
| 1,0000                          | 0,5619                           | 0,0144   | $m_{z1}$                  |
| 15,0000                         | 8,4282                           | 0,0604   | $m_{z2}$                  |
| 30,0000                         | 16,8564                          | 0,1096   | $m_{z3}$                  |
| 45,0000                         | 25,2846                          | 0,1589   | $m_{z4}$                  |
| 58,8580                         | 33,0711                          | 0,2044   | $m_{z5}$                  |

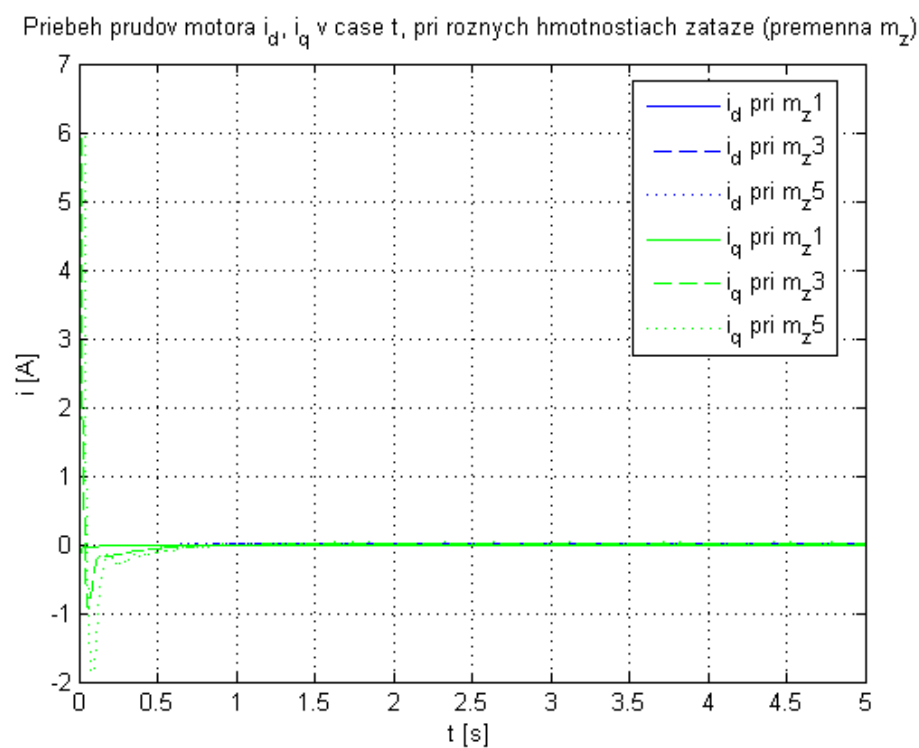
Tab. 6.3. Zvolené hmotnosti záťaže a príslušné momenty.



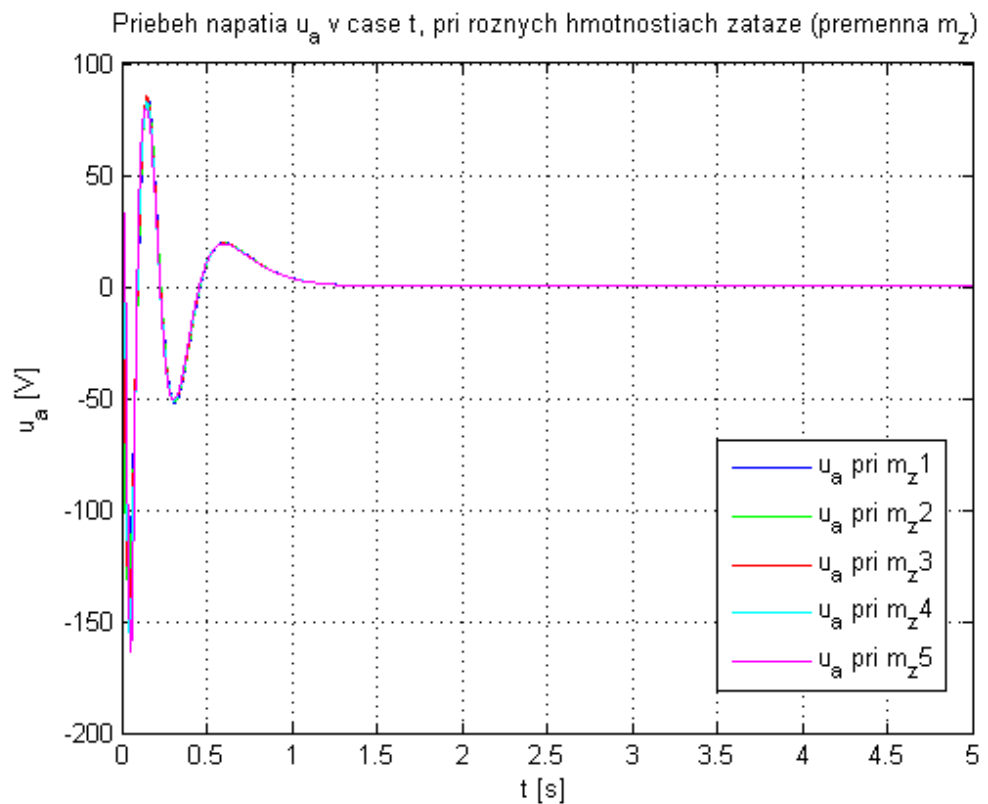
Obr. 6.14. Priebeh prúdu  $i_d$  pri rôznych hmotnostiach záťaže.



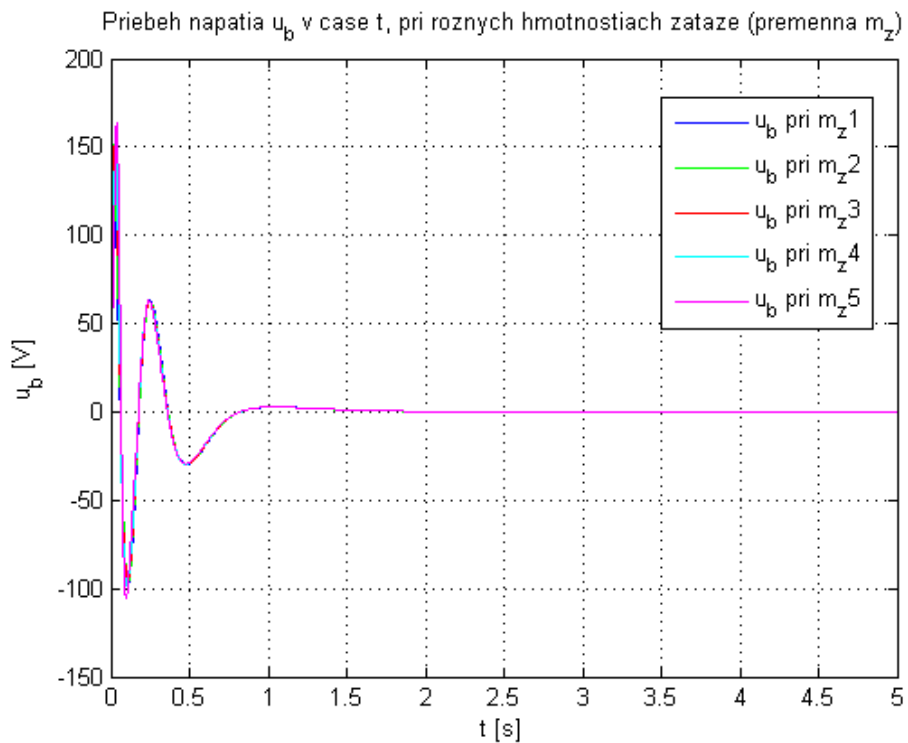
Obr. 6.15. Priebeh prúdu  $i_q$  pri rôznych hmotnostiach záťaže.



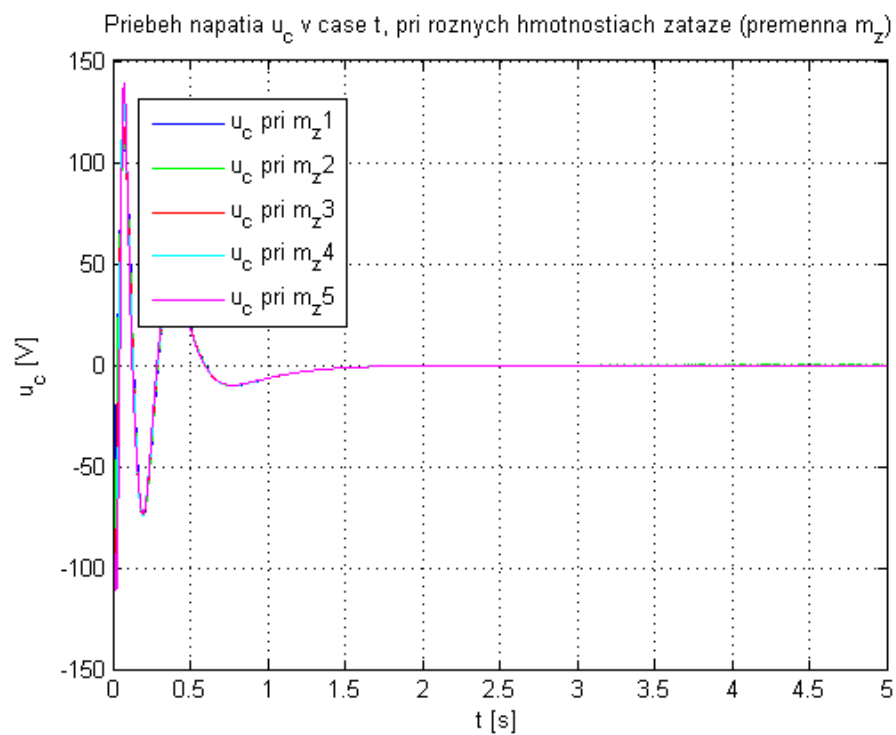
Obr. 6.16. Priebeh prudov  $i_d$ ,  $i_q$  pri rôznych hmotnostiach záťaže.



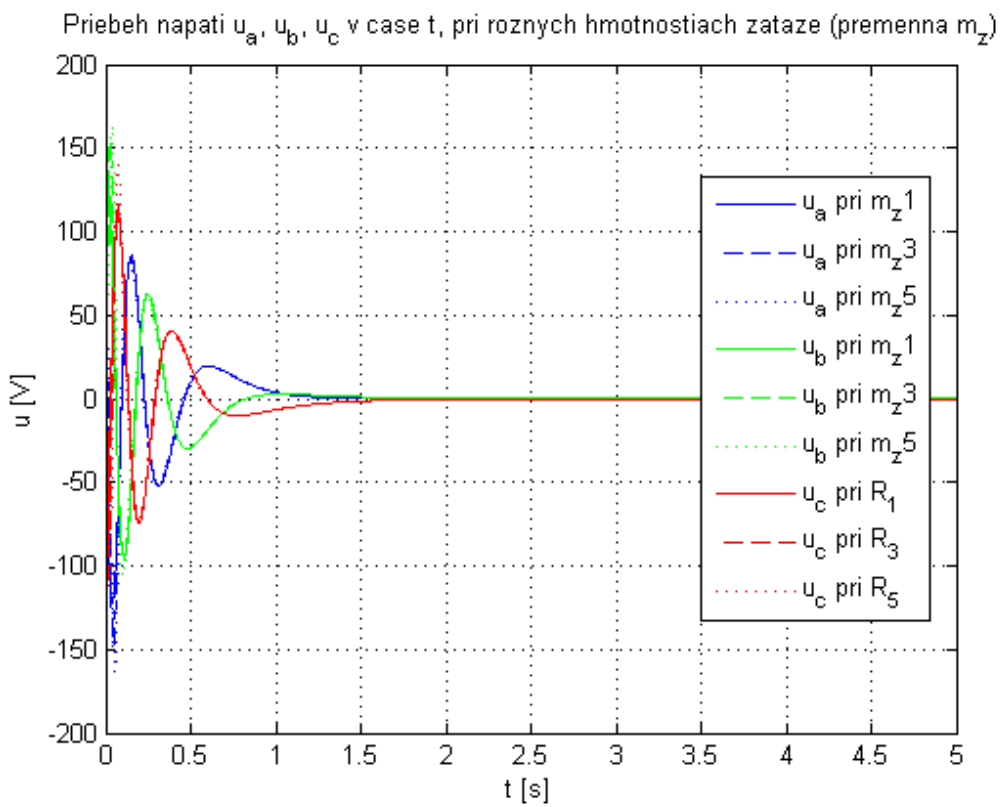
Obr. 6.17. Priebeh napäťia  $u_a$  pri rôznych hmotnostiach záťaže.



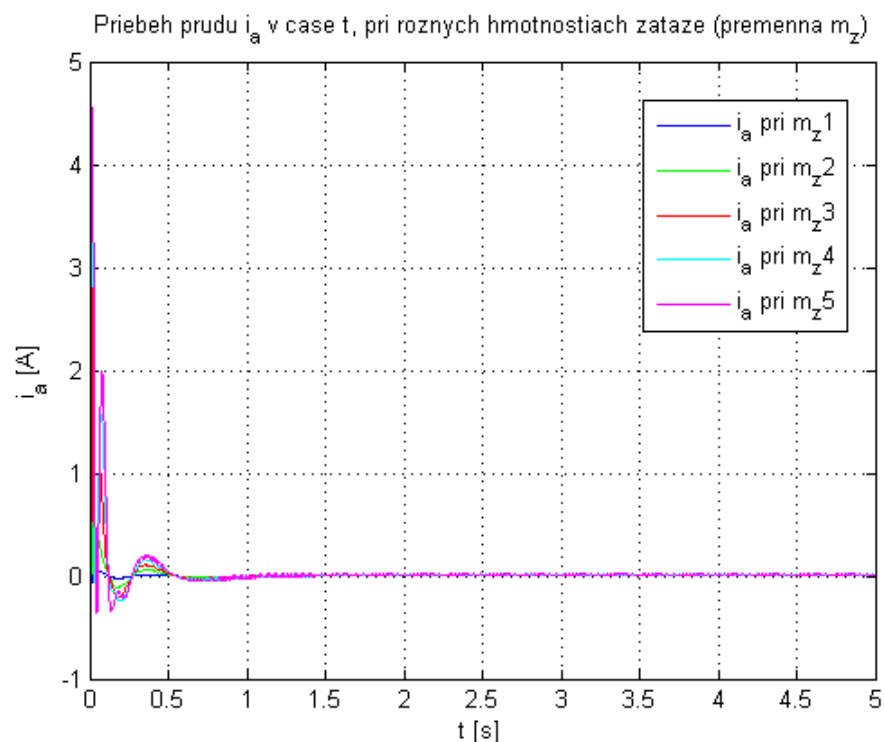
Obr. 6.18. Priebeh napäťia  $u_b$  pri rôznych hmotnostiach záťaže.



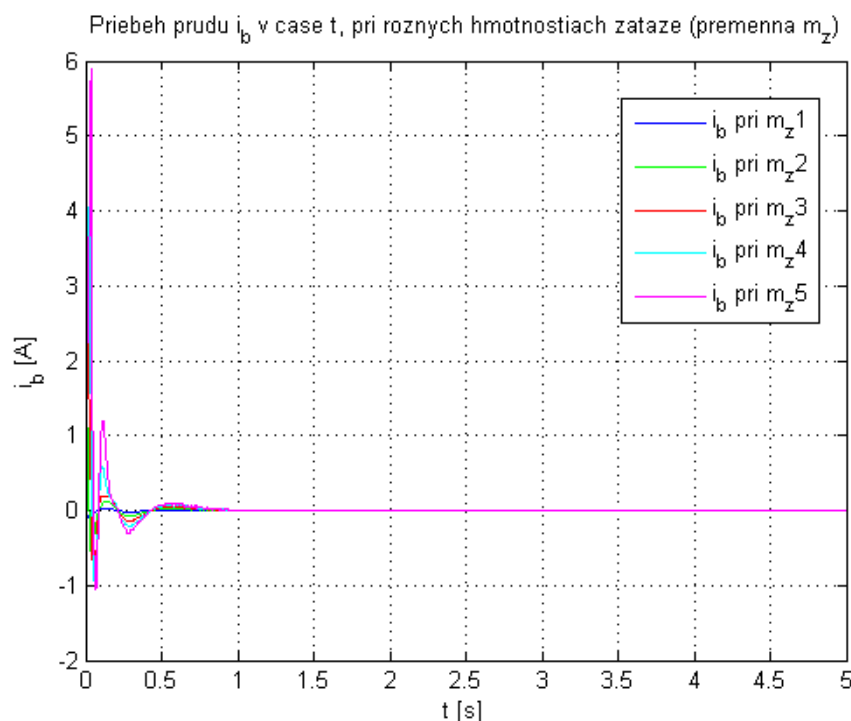
Obr. 6.19. Priebeh napäťia  $u_c$  pri rôznych hmotnostiach záťaže.



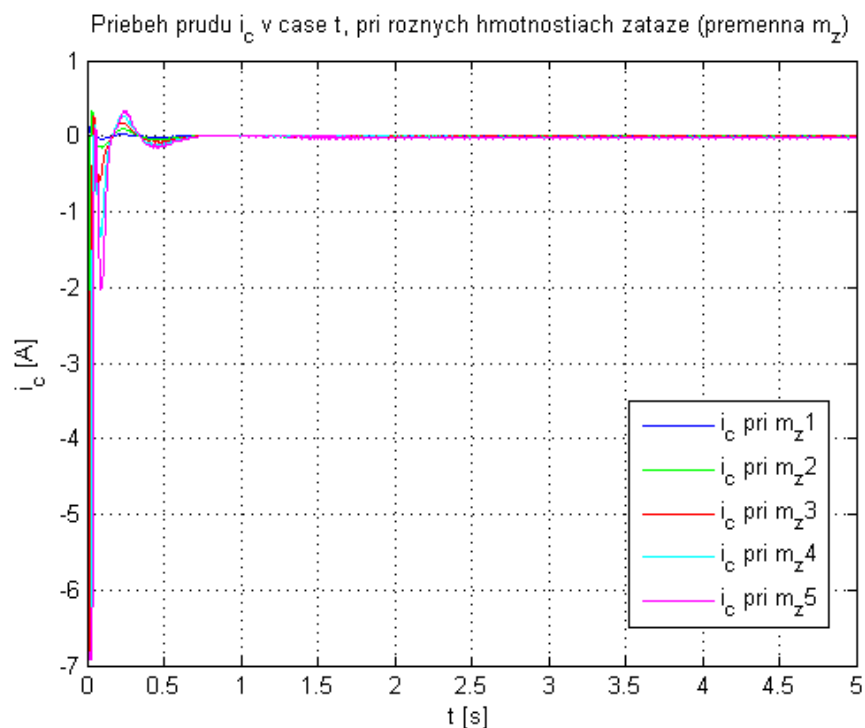
Obr. 6.20. Priebeh napäťí  $u_a$ ,  $u_b$ ,  $u_c$  pri rôznych hmotnostiach záťaže.



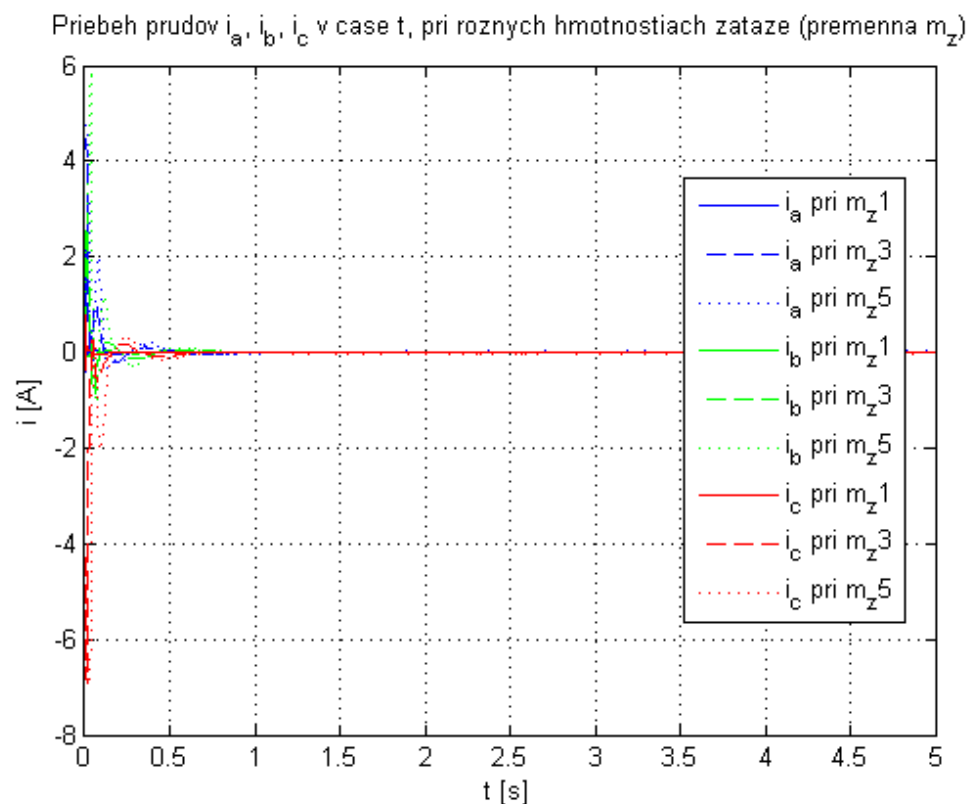
Obr. 6.21. Priebeh prúdu  $i_a$  pri rôznych hmotnostiach záťaže.



Obr. 6.22. Priebeh prúdu  $i_b$  pri rôznych hmotnostiach záťaže.

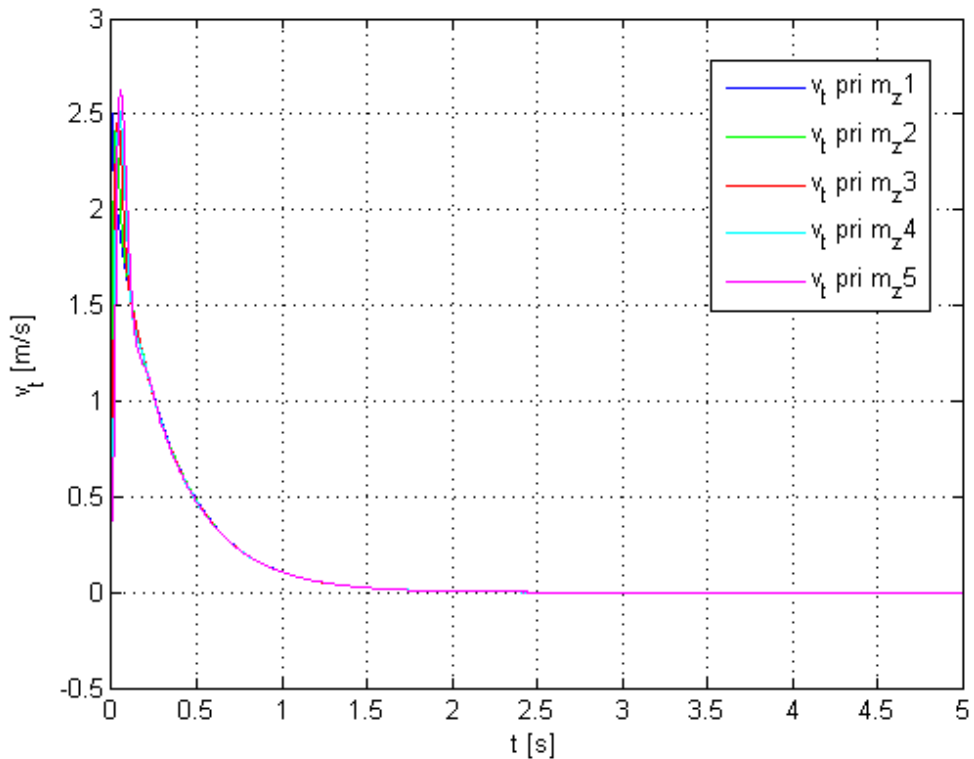


Obr. 6.23. Priebeh prúdu  $i_c$  pri rôznych hmotnostiach záťaže.



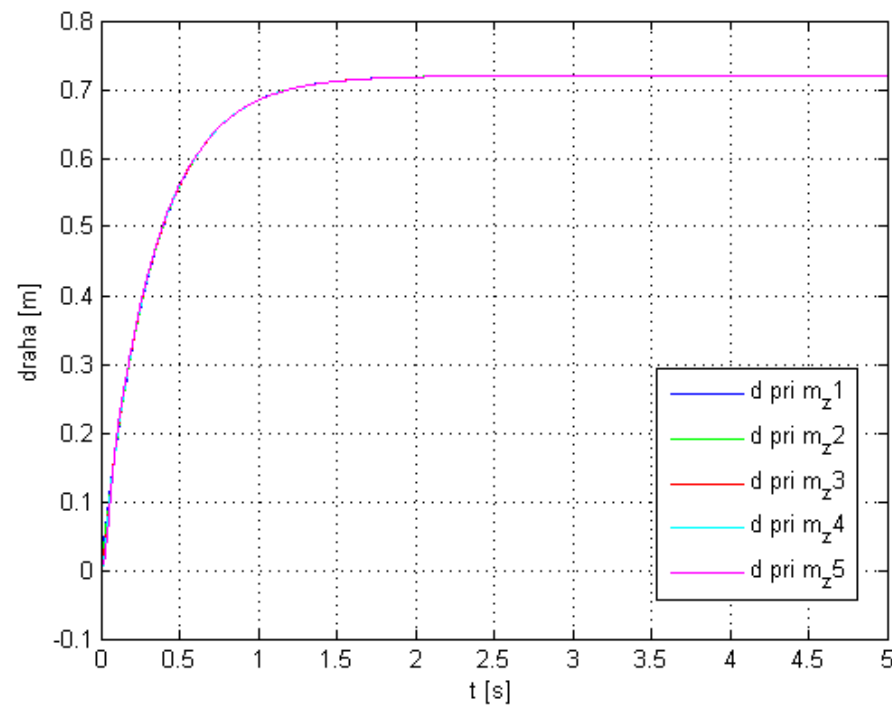
Obr. 6.24. Priebeh prudov  $i_a$ ,  $i_b$ ,  $i_c$  pri rôznych hmotnostiach záťaže.

Priebeh translacnej rýchlosťi  $v_t$  v čase  $t$ , pri rôznych hmotnostiach zataže (premenna  $m_z$ )



Obr. 6.25. Priebeh translacnej rýchlosťi  $v_t$  pri rôznych hmotnostiach zát'aže.

Priebeh translacného posunutia  $d$  v čase  $t$ , pri rôznych hmotnostiach zataže (premenna  $m_z$ )



Obr. 6.26. Priebeh translacného posunutia  $d$  pri rôznych hmotnostiach zát'aže.

| Záťaž | Settling time [s] |          |         |
|-------|-------------------|----------|---------|
|       | $v_t$             | $\theta$ | $d$     |
| mz1   | 1,25868           | 1,00159  | 1,00159 |
| mz2   | 1,25811           | 1,00370  | 1,00370 |
| mz3   | 1,25793           | 1,00401  | 1,00401 |
| mz4   | 1,25966           | 1,00573  | 1,00573 |
| mz5   | 1,25931           | 1,00671  | 1,00671 |

Tab.6.4. Časy ustálenia pre sledované hodnoty.

Z vyššie uvedených obrázkov je vidno, že nastavená regulácia uspokojivo pracuje s rozličnými hmotnosťami záťaže.

## 7. ZÁVER

Predložená práca sa zaobrá všeobecným princípom fungovania elektrických pohonov a konštrukciou synchrónneho elektrického motora.

Ďalej sa práca venuje porovnaniu lineárneho motora s rotačným motorom s prevodovkou a konštrukcii lineárneho motora. Bližšie sú opísané bežné typy lineárnych pohonov na trhu.

V nasledujúcim sa diskutuje popis veličín synchrónneho rotačného motora pomocou komplexorov, Clarkovej a Parkovej lineárnej transformácie rovníc. Je vysvetlený princíp vektorovo orientovaného riadenia elektrického pohonu.

Ďalej je ukázaný spôsob prevodu parametrov konkrétneho lineárneho motora na rotačné ekvivalenty, ktoré slúžia ako vstupy pre model. K modelu je navrhnutá bloková schéma riadenia na žiadane translačné posunutie a vyhodnotená kvalita regulácie.

Na záver je predložená simulácia priebehov skúmaných veličín pri zmene parametrov lineárneho motora, ktoré nastávajú v prevádzke.

Navrhnutý spôsob riadenia lineárneho motora ukazuje prijateľnú odolnosť voči zmenám parametrov.

## 8. ZOZNAM LITERATÚRY

- [1] Caha Z., Černý M.: *Elektrické pohony*. Ediční středisko ČVUT, 1987. Štandardné číslo neuvedené.
- [2] Poliak F., Fedák V., Zboray L.: *Elektrické pohony*. Alfa – vydavateľstvo technickej a ekonomickej literatúry Bratislava, 1987. MDT 621.313.078.
- [3] Mazák Š. a kol.: *Elektrotechnický slovník náučný*. 6. zväzok. Alfa – vydavateľstvo technickej a ekonomickej literatúry Bratislava, 1981.
- [4] Roubíček O.: *Elektrické motory a pohony: príručka techniky, volby a užití vybraných druhů*. Ben – technická literatura, 2004. ISBN 80-7300-092-X.
- [5] *Linear Motors Application Guide*. Aerotech, rok vydania neuvedený.
- [6] Gieras J. F., Piech Z.: *Linear Synchronous Motors: Transportation and Automation Systems*. CRC Press, 1999. Štandardné číslo neuvedené.
- [7] Bose B. K.: *Modern Power Electronics and AC Drives*. Prentice Hall PTR, 2002. ISBN 0-13-016743-6.
- [8] *Elektronická učebnica silnoprúdových zariadení* [online]. Verzia neuvedená. [Cit. 2008-11-12]. URL: <[www.spservice.sk/soc-ucebsiz2007/Elektronicka%20ucebnica%20SIZ/AD%20Uvodna%20stranka/SIZtem.html](http://www.spservice.sk/soc-ucebsiz2007/Elektronicka%20ucebnica%20SIZ/AD%20Uvodna%20stranka/SIZtem.html)>.
- [9] *Shinagawa Tokyo* [online]. Verzia neuvedená. [Cit. 2009-01-03]. URL: <[www.industry.city.shinagawa.tokyo.jp](http://www.industry.city.shinagawa.tokyo.jp)>.
- [10] Švarc I., Šeda M., Vitečková M.: *Automatické řízení*. Akademické nakladatelství CERM, 2007. ISBN 80-2143-491-2.
- [11] Žalman M., Jovankovič J.: *Nové trendy v riadení lineárnych pohonov*. AT&P journal, 2/2006.
- [12] Griffiths D.: *7. Electrodynamics*. Prentice Hall, 1999. ISBN 0-13-805326-x
- [13] Blaha P., Vavřín P.: *Řízení a regulace I. Základy regulace lineárních systémů – spojité a diskrétní*. Skriptum FEKT VUT v Brně, 2005.
- [14] *System Dynamics – Response Time*. [online]. Verzia neuvedená. [Cit. 2009-05-12]. URL: <[www.facstaff.bucknell.edu/mastascu/eControlHTML/SysDyn/SysDyn5.html#Meas](http://www.facstaff.bucknell.edu/mastascu/eControlHTML/SysDyn/SysDyn5.html#Meas)>

ures>.

## 9. ZOZNAM OBRÁZKOV

|            |   |    |
|------------|---|----|
| Obr. 2.1.  | Principiálna schéma synchrónneho motoru (rotačného s hladkým rotorom.               | 11 |
| Obr. 3.1.  | Lineárny motor, znázornenie statoru a jazdca.                                       | 13 |
| Obr. 3.2.  | U Channel linear motor, rotor.  | 15 |
| Obr. 3.3.  | Flat type linear motor.   | 16 |
| Obr. 3.4.  | Slotted iron flat motor.  | 17 |
| Obr. 3.5.  | Lineárny synchrónny motor s permanentnými magnetmi a priečnym magnetickým tokom.    | 18 |
| Obr. 4.1.  | Schéma fyzikálneho modelu motora podľa stavových rovníc.                            | 26 |
| Obr. 4.2.  | Všeobecná schéma decouplingu.   | 27 |
| Obr. 4.3.  | Vektorové riadenie.   | 29 |
| Obr. 5.1.  | Model motora so zavedenými obmedzeniami prúdov $i_d$ , $i_q$ a koeficientom trenia. | 33 |
| Obr. 5.2.  | Celková schéma riadenia s regulátormi.  | 35 |
| Obr. 5.3.  | Blok M s transformáciami.   | 35 |
| Obr. 5.4.  | Blok Motor.   | 36 |
| Obr. 5.5.  | Návrh zosilňovacích konštánt prúdových regulátorov                                  | 38 |
| Obr. 6.1.  | Priebeh prúdu $i_d$ pri rôznych teplotách vinutia.                                  | 40 |
| Obr. 6.2.  | Priebeh prúdu $i_q$ pri rôznych teplotách vinutia.                                  | 41 |
| Obr. 6.3.  | Priebeh prúdov $i_d$ , $i_q$ pri rôznych teplotách vinutia                          | 41 |
| Obr. 6.4.  | Priebeh napäťia $u_a$ pri rôznych teplotách vinutia.                                | 42 |
| Obr. 6.5.  | Priebeh napäťia $u_b$ pri rôznych teplotách vinutia.                                | 42 |
| Obr. 6.6.  | Priebeh napäťia $u_c$ pri rôznych teplotách vinutia.                                | 43 |
| Obr. 6.7.  | Priebeh napäťí $u_a$ , $u_b$ , $u_c$ pri rôznych teplotách vinutia.                 | 43 |
| Obr. 6.8.  | Priebeh prúdu $i_a$ pri rôznych teplotách vinutia.                                  | 44 |
| Obr. 6.9.  | Priebeh prúdu $i_b$ pri rôznych teplotách vinutia.                                  | 44 |
| Obr. 6.10. | Priebeh prúdu $i_c$ pri rôznych teplotách vinutia.                                  | 45 |
| Obr. 6.11. | Priebeh prúdov $i_a$ , $i_b$ , $i_c$ pri rôznych teplotách vinutia.                 | 45 |

|            |  |    |
|------------|--|----|
| Obr. 6.12. | Priebeh translačnej rýchlosťi $v_t$ pri rôznych teplotách vinutia.   | 46 |
| Obr. 6.13. | Priebeh translačného posunutia $d$ pri rôznych teplotách vinutia.    | 46 |
| Obr. 6.14. | Priebeh prúdu $i_d$ pri rôznych hmotnostiach záťaže.                 | 48 |
| Obr. 6.15. | Priebeh prúdu $i_q$ pri rôznych hmotnostiach záťaže.                 | 49 |
| Obr. 6.16. | Priebeh prúdov $i_d, i_q$ pri rôznych hmotnostiach záťaže.           | 49 |
| Obr. 6.17. | Priebeh napäťia $u_a$ pri rôznych hmotnostiach záťaže.               | 50 |
| Obr. 6.18. | Priebeh napäťia $u_b$ pri rôznych hmotnostiach záťaže.               | 50 |
| Obr. 6.19. | Priebeh napäťia $u_c$ pri rôznych hmotnostiach záťaže.               | 51 |
| Obr. 6.20. | Priebeh napäťí $u_a, u_b, u_c$ pri rôznych hmotnostiach záťaže.      | 51 |
| Obr. 6.21. | Priebeh prúdu $i_a$ pri rôznych hmotnostiach záťaže.                 | 52 |
| Obr. 6.22. | Priebeh prúdu $i_b$ pri rôznych hmotnostiach záťaže.                 | 52 |
| Obr. 6.23. | Priebeh prúdu $i_c$ pri rôznych hmotnostiach záťaže.                 | 53 |
| Obr. 6.24. | Priebeh prúdov $i_a, i_b, i_c$ pri rôznych hmotnostiach záťaže.      | 53 |
| Obr. 6.25. | Priebeh translačnej rýchlosťi $v_t$ pri rôznych hmotnostiach záťaže. | 54 |
| Obr. 6.26. | Priebeh translačného posunutia $d$ pri rôznych hmotnostiach záťaže.  | 54 |

## 10. ZOZNAM SKRATIEK A SYMBOLOV

| Symbol         | Význam                                       |
|----------------|--|
| $a, b, c$      | Fázy motora                                  |
| B              | Budiace vinutie                              |
| D, Q           | Tlmiace vinutia                              |
| $d$            | Translačné posunutie                         |
| $d,q$          | Súradnicová sústava $d,q$ toku $\psi$ rotora |
| $F$            | Sila   |
| $f$            | Frekvencia                                   |
| $i$            | Prúd   |
| $I_f$          | Prúd fáz                                     |
| $I_s$          | Prúd sietových prívodov                      |
| $J$            | Moment zotrvačnosti                          |
| $K_E$          | Konšstanta spätej elektromotorickej sily     |
| $L$            | Elektrická dĺžka rotora                      |
| $L_d, L_q$     | Zložky indukčnosti statora v $d,q$ osiach    |
| $M$            | Moment sily                                  |
| $M_z$          | Záťažný moment                               |
| $m_c$          | Celková hmotnosť                             |
| $m_m$          | Hmotnosť rotora                              |
| $m_z$          | Hmotnosť záťaže                              |
| $n$            | Otáčky                                       |
| $p_p$          | Počet pôlových dvojíc                        |
| $R$            | Odpor vinutí statora                         |
| $T$            | Transformačná matica                         |
| $u$            | Napätie                                      |
| $U_f, U_s$     | Napätie fáz, napätie sietových prívodov      |
| $\hat{U}_{am}$ | Fázor napäcia fázy $a$                       |
| $\hat{u}_{am}$ | Komplexor napäcia fázy $a$                   |

|                 |   |
|-----------------|---|
| U,V,W           | Fázy  |
| $v_t$           | Posuvná rýchlosť  |
| $Y, \Delta$     | Spojenie do hviezdy, trojuholníka                                   |
| $\alpha_{Cu}$   | Teplotný koeficient rezistivity medi                                |
| $\alpha, \beta$ | Súradnicový systém statora  |
| $\varepsilon$   | Realizačná časová konštantá (u regulátorov PI, PID)                 |
| $\eta$          | Účinnosť  |
| $\theta$        | Uhlové natočenie  |
|                 | Uhol posunutia rotorových vinutí oproti statoru                     |
| $\kappa$        | Uhol posunutia súradnicového systému $K$ oproti statorovému systému |
| $\omega$        | Uhlová rýchlosť   |
| $\omega_s$      | Synchronna uhlová rýchlosť  |

## **11. ZOZNAM PRÍLOH**

1. Zdrojový kód skriptov

## 12. PRÍLOHY

### 12.1 PRÍLOHA Č. 1 – ZDROJOVÝ KÓD

Program\_R.m

```

close all; clear all; clc;
%% Parametre motora %%

% Premenne parametre
TC=[25 50 75 100 125]; % [C] Teplota vinutia - linearne
% TC=[25.0000 37.3837 55.9017 83.5925 125.0000]; % [C] Teplota
vinutia - logaritmicky
alpha=3.9e-3; % [1/K] Teplotny koeficient rezistivity eCu

R_vekt=6.8.*[alpha.*(TC-25)+1]; % [Ohm] Odpor statora

% Nepremenne parametre
Ld=6*10^(-3); % [H] Indukcnost statora
Lq=6*10^(-3); % [H] Indukcnost rotora

Pp=6; % [-] Pocet polovych dvojic motora

Leng=0.360; % [m] Coil length - Elektricka dlzka rotora
r=Leng/(2*pi); % [m] polomer na prepocitavania z rotac. na
translac. pohyb

m_m=3.4; % [kg] Hmotnost jazdca
m_z=58.8580; % [kg] Hmotnost zataze
m_c=m_m+m_z; % [kg] Hmotnost (pohybl.sucasti motora + zataze)

g=9.80665; % [m/s^2] Gravitačne zrychlenie
Mz=m_z*g*r; % [N.m] Zatazny moment

KErot=(77.155*Leng)/(2*pi); % [V.s/rad] Konstanta elektromotorickej
sily, prepoc. na rotacnu
Jrot=m_c*r^2; % [kg.m^2] Moment zotrvačnosti rotora

% Pre (PI) R_id, R_iq
Kd1=20;
Kq1=20;

% Pre (PID) R_w
Kw=4.0;
T1=0.110;
T2=0.020;

% Pre (PD) R_theta

```

```

Kth=3.0;
Th=0.002;

% Realizacna cas. konstanta eps
eps=0.001;

d=0.720; % [m] ziadany posun jazdca motora, 0.06 m je asi 1
rad
theta_ziad=d/r;

% Hodnoty Obmedzeni
Obm_id=6;
Obm_iq=6;

%% Vplyv variability parametrov
R=R_vekt(1); % 1
sim('m_15',[0 5]);

t1=simout.time;
id1=simout.signals.values(:,1);
iq1=simout.signals.values(:,2);
omegal=simout.signals.values(:,3);
thetal=simout.signals.values(:,4);

ual=simout1.signals.values(:,1);
ub1=simout1.signals.values(:,2);
uc1=simout1.signals.values(:,3);
ud1=simout1.signals.values(:,4);
uql=simout1.signals.values(:,5);

ial=simout2.signals.values(:,1);
ib1=simout2.signals.values(:,2);
ic1=simout2.signals.values(:,3);

rychl1=r.*omegal;
drahal=r.*thetal;

R=R_vekt(2); % 2
sim('m_15',[0 5]);

t2=simout.time;
id2=simout.signals.values(:,1);
iq2=simout.signals.values(:,2);
omega2=simout.signals.values(:,3);
theta2=simout.signals.values(:,4);

ua2=simout1.signals.values(:,1);
ub2=simout1.signals.values(:,2);
uc2=simout1.signals.values(:,3);
ud2=simout1.signals.values(:,4);
uq2=simout1.signals.values(:,5);

ia2=simout2.signals.values(:,1);
ib2=simout2.signals.values(:,2);

```

```
ic2=simout2.signals.values(:,3);

rychl12=r.*omega2;
draha2=r.*theta2;

R=R_vekt(3);                                % 3
sim('m_15',[0 5]);

t3=simout.time;
id3=simout.signals.values(:,1);
iq3=simout.signals.values(:,2);
omega3=simout.signals.values(:,3);
theta3=simout.signals.values(:,4);

ua3=simout1.signals.values(:,1);
ub3=simout1.signals.values(:,2);
uc3=simout1.signals.values(:,3);
ud3=simout1.signals.values(:,4);
uq3=simout1.signals.values(:,5);

ia3=simout2.signals.values(:,1);
ib3=simout2.signals.values(:,2);
ic3=simout2.signals.values(:,3);

rychl3=r.*omega3;
draha3=r.*theta3;

R=R_vekt(4);                                % 4
sim('m_15',[0 5]);

t4=simout.time;
id4=simout.signals.values(:,1);
iq4=simout.signals.values(:,2);
omega4=simout.signals.values(:,3);
theta4=simout.signals.values(:,4);

ua4=simout1.signals.values(:,1);
ub4=simout1.signals.values(:,2);
uc4=simout1.signals.values(:,3);
ud4=simout1.signals.values(:,4);
uq4=simout1.signals.values(:,5);

ia4=simout2.signals.values(:,1);
ib4=simout2.signals.values(:,2);
ic4=simout2.signals.values(:,3);

rychl4=r.*omega4;
draha4=r.*theta4;

R=R_vekt(5);                                % 5
sim('m_15',[0 5]);

t5=simout.time;
id5=simout.signals.values(:,1);
```

```

iq5=simout.signals.values(:,2);
omega5=simout.signals.values(:,3);
theta5=simout.signals.values(:,4);

ua5=simout1.signals.values(:,1);
ub5=simout1.signals.values(:,2);
uc5=simout1.signals.values(:,3);
ud5=simout1.signals.values(:,4);
uq5=simout1.signals.values(:,5);

ia5=simout2.signals.values(:,1);
ib5=simout2.signals.values(:,2);
ic5=simout2.signals.values(:,3);

rychl5=r.*omega5;
draha5=r.*theta5;

figure(1)
plot(t1,ua1,'b',t2,ua2,'g',t3,ua3,'r',t4,ua4,'c',t5,ua5,'m'); grid on;
xlabel('t [s]'); ylabel('u_a [V]');
legend('u_a pri R_1','u_a pri R_2','u_a pri R_3','u_a pri R_4','u_a pri R_5','Location','Best');
title('Priebeh napatia u_a v casu t, pri roznych teplotach vinutia (premenny R)');

figure(2)
plot(t1,ub1,'b',t2,ub2,'g',t3,ub3,'r',t4,ub4,'c',t5,ub5,'m'); grid on;
xlabel('t [s]'); ylabel('u_b [V]');
legend('u_b pri R_1','u_b pri R_2','u_b pri R_3','u_b pri R_4','u_b pri R_5','Location','Best');
title('Priebeh napatia u_b v casu t, pri roznych teplotach vinutia (premenny R)');

figure(3)
plot(t1,uc1,'b',t2,uc2,'g',t3,uc3,'r',t4,uc4,'c',t5,uc5,'m'); grid on;
xlabel('t [s]'); ylabel('u_c [V]');
legend('u_c pri R_1','u_c pri R_2','u_c pri R_3','u_c pri R_4','u_c pri R_5','Location','Best');
title('Priebeh napatia u_c v casu t, pri roznych teplotach vinutia (premenny R)');

figure(4)
plot(t1,ua1,'b',t3,ua3,'b--',t5,ua5,'b:'); hold on;
plot(t1,ub1,'g',t3,ub3,'g--',t5,ub5,'g:'); hold on;
plot(t1,uc1,'r',t3,uc3,'r--',t5,uc5,'r:'); hold on;
grid on;
xlabel('t [s]'); ylabel('u [V]');
legend('u_a pri R_1','u_a pri R_3','u_a pri R_5','u_b pri R_1', 'u_b pri R_3', 'u_b pri R_5', 'u_c pri R_1', 'u_c pri R_3', 'u_c pri R_5','Location','Best');
title('Priebeh napati u_a, u_b, u_c v casu t, pri roznych teplotach vinutia (premenny R)');
hold off;

```

```

figure(5)
plot(t1,ia1,'b',t2,ia2,'g',t3,ia3,'r',t4,ia4,'c',t5,ia5,'m'); grid
on;
xlabel('t [s]'); ylabel('i_a [A]');
legend('i_a pri R_1','i_a pri R_2','i_a pri R_3','i_a pri R_4','i_a
pri R_5','Location','Best');
title('Priebeh prudu i_a v case t, pri roznych teplotach vinutia
(premenny R)');

figure(6)
plot(t1,ib1,'b',t2,ib2,'g',t3,ib3,'r',t4,ib4,'c',t5,ib5,'m'); grid
on;
xlabel('t [s]'); ylabel('i_b [A]');
legend('i_b pri R_1','i_b pri R_2','i_b pri R_3','i_b pri R_4','i_b
pri R_5','Location','Best');
title('Priebeh prudu i_b v case t, pri roznych teplotach vinutia
(premenny R)');

figure(7)
plot(t1,ic1,'b',t2,ic2,'g',t3,ic3,'r',t4,ic4,'c',t5,ic5,'m'); grid
on;
xlabel('t [s]'); ylabel('i_c [A]');
legend('i_c pri R_1','i_c pri R_2','i_c pri R_3','i_c pri R_4','i_c
pri R_5','Location','Best');
title('Priebeh prudu i_c v case t, pri roznych teplotach vinutia
(premenny R)');

figure(8)
plot(t1,ia1,'b',t3,ia3,'b--',t5,ia5,'b:'); hold on;
plot(t1,ib1,'g',t3,ib3,'g--',t5,ib5,'g:'); hold on;
plot(t1,ic1,'r',t3,ic3,'r--',t5,ic5,'r:'); hold on;
xlabel('t [s]'); ylabel('i [A]');
legend('i_a pri R_1','i_a pri R_3','i_a pri R_5','i_b pri R_1', 'i_b
pri R_3', 'i_b pri R_5', 'i_c pri R_1','i_c pri R_3','i_c pri R_5',
'Location','Best');
title('Priebeh prudov i_a, i_b, i_c v case t, pri roznych teplotach
vinutia (premenny R)');
hold off;

figure(9)
plot(t1,ud1,'b',t2,ud2,'g',t3,ud3,'r',t4,ud4,'c',t5,ud5,'m'); grid
on;
xlabel('t [s]'); ylabel('u_d [V]');
legend('u_d pri R_1','u_d pri R_2','u_d pri R_3','u_d pri R_4','u_d
pri R_5','Location','Best');
title('Priebeh napatia na vstupe motora u_d v case t, pri roznych
teplotach vinutia (premenny R)');

figure(10)
plot(t1,uq1,'b',t2,uq2,'g',t3,uq3,'r',t4,uq4,'c',t5,uq5,'m'); grid
on;
xlabel('t [s]'); ylabel('u_q [V]');
legend('u_q pri R_1','u_q pri R_2','u_q pri R_3','u_q pri R_4','u_q
pri R_5','Location','Best');

```

```

title('Priebeh napatia na vstupe motora u_q v case t, pri roznych
teplotach vinutia (premenny R)');

figure(11)
plot(t1,ud1,'b',t3,ud3,'b--',t5,ud5,'b:'); hold on;
plot(t1,uq1,'g',t3,uq3,'g--',t5,uq5,'g:'); grid on;
xlabel('t [s]'); ylabel('u [V]');
legend('u_d pri R_1','u_d pri R_3','u_d pri R_5','u_q pri R_1','u_q
pri R_3','u_q pri R_5','Location','Best');
title('Priebeh napati na vstupe motora u_d, u_q v case t, pri
roznych teplotach vinutia (premenny R)');
hold off;

figure(12)
plot(t1,id1,'b',t2,id2,'g',t3,id3,'r',t4,id4,'c',t5,id5,'m'); grid
on;
xlabel('t [s]'); ylabel('i_d [A]');
legend('i_d pri R_1','i_d pri R_2','i_d pri R_3','i_d pri R_4','i_d
pri R_5','Location','Best');
title('Priebeh prudu motora i_d v case t, pri roznych teplotach
vinutia (premenny R)');

figure(13)
plot(t1,iq1,'b',t2,iq2,'g',t3,iq3,'r',t4,iq4,'c',t5,iq5,'m'); grid
on;
xlabel('t [s]'); ylabel('i_q [A]');
legend('i_q pri R_1','i_q pri R_2','i_q pri R_3','i_q pri R_4','i_q
pri R_5','Location','Best');
title('Priebeh prudu motora i_q v case t, pri roznych teplotach
vinutia (premenny R)');

figure(14)
plot(t1,id1,'b',t3,id3,'b--',t5,id5,'b:'); hold on;
plot(t1,iq1,'g',t3,iq3,'g--',t5,iq5,'g:'); grid on;
xlabel('t [s]'); ylabel('i [A]');
legend('i_d pri R_1','i_d pri R_3','i_d pri R_5','i_q pri R_1','i_q
pri R_3','i_q pri R_5','Location','Best');
title('Priebeh prudov motora i_d, i_q v case t, pri roznych
teplotach vinutia (premenny R)');
hold off;

figure(15)
plot(t1,omegal,'b',t2,omega2,'g',t3,omega3,'r',t4,omega4,'c',t5,omega
a5,'m'); grid on;
xlabel('t [s]'); ylabel('omega [rad/s]');
legend('omega pri R_1','omega pri R_2','omega pri R_3','omega pri
R_4','omega pri R_5','Location','Best');
title('Priebeh uhlovej rychlosci omega v case t, pri roznych
teplotach vinutia (premenny R)');

n1=(60/(2*pi())) *omegal;
n2=(60/(2*pi())) *omega2;
n3=(60/(2*pi())) *omega3;
n4=(60/(2*pi())) *omega4;
n5=(60/(2*pi())) *omega5;

```

```

figure(16)
plot(t1,n1,'b',t2,n2,'g',t3,n3,'r',t4,n4,'c',t5,n5,'m'); grid on;
xlabel('t [s]'); ylabel('n [ot./min]');
legend('n pri R_1','n pri R_2','n pri R_3','n pri R_4','n pri
R_5','Location','Best');
title('Priebeh otacok motora n v case t, pri roznych teplotach
vinutia (premenny R)');

figure(17)
plot(t1,theta1,'b',t2,theta2,'g',t3,theta3,'r',t4,theta4,'c',t5,theta
a5,'m'); grid on;
xlabel('t [s]'); ylabel('theta [rad]');
legend('theta pri R_1','theta pri R_2','theta pri R_3','theta pri
R_4','theta pri R_5','Location','Best');
title('Priebeh uhloveho natocenia theta v case t, pri roznych
teplotach vinutia (premenny R)');

figure(18)
plot(t1,rychl1,'b',t2,rychl2,'g',t3,rychl3,'r',t4,rychl4,'c',t5,rych
l5,'m'); grid on;
xlabel('t [s]'); ylabel('v_t [m/s]');
legend('v_t pri R_1','v_t pri R_2','v_t pri R_3','v_t pri R_4','v_t
pri R_5','Location','Best');
title('Priebeh translacnej rychlosi v_t v case t, pri roznych
teplotach vinutia (premenny R)');

figure(19)
plot(t1,draha1,'b',t2,draha2,'g',t3,draha3,'r',t4,draha4,'c',t5,draha
a5,'m'); grid on;
xlabel('t [s]'); ylabel('draha [m]');
legend('d pri R_1','d pri R_2','d pri R_3','d pri R_4','d pri
R_5','Location','Best');
title('Priebeh translacneho posunutia d v case t, pri roznych
teplotach vinutia (premenny R)');

```

### Program\_mz.m

```

close all; clear all; clc;
%% Parametre motora %%

%% Premenne parametre
m_z_vekt=[1 15 30 45 58.8580];      % [kg] Hmotnost zataze
% m_z=[1.000 2.800 7.700 21.200 55.000];    % [kg] Hmotnost zataze

Leng=0.360;           % [m] Coil length - Elektricka dlzka rotora
r=Leng/(2*pi);       % [m] polomer na prepocitavania z rotac. na
translac. pohyb

m_m=3.4;             % [kg] Hmotnost jazdca
m_c=m_m+m_z_vekt;   % [kg] Hmotnost (pohybl.sucasti motora +
zataze)

```

```

g=9.80665;           % [m/s^2] Gravitačne zrychlenie
Mz_vekt=m_z_vekt.*g.*r;      % [N.m] Zatažny moment
Jrot_vekt=m_c.*r^2;          % [kg.m^2] Moment zotrvačnosti rotora

% Nepremenne parametre
R=6.8;                  % [Ohm] Odpor statora

Ld=6*10^(-3);           % [H] Indukcnost statora
Lq=6*10^(-3);           % [H] Indukcnost rotora

Pp=6;                   % [-] Počet polovych dvojic motora

KERot=(77.155*Leng)/(2*pi); % [V.s/rad] Konstanta elektromotorickej
sily, prepoc. na rotacnu

% Pre (PI) R_id, R_iq
Kd1=20;
Kq1=20;

% Pre (PID) R_w
Kw=4;
T1=0.110;
T2=0.020;

% Pre (PD) R_theta
Kth=3.0;
Th=0.002;

% Realizacna cas. konstanta eps
eps=0.001;

d=0.720;                % [m] ziadaný posun jazdca motora, 0.06 m je asi 1
rad
theta_ziad=d/r;

% Hodnoty Obmedzeni
Obm_id=6;
Obm_iq=6;

%% Vplyv variability parametrov
m_z=m_z_vekt(1);          % 1
Mz=Mz_vekt(1);
Jrot=Jrot_vekt(1);

sim('m_15',[0 5]);

t1=simout.time;
idl=simout.signals.values(:,1);
iql=simout.signals.values(:,2);
omegal=simout.signals.values(:,3);
thetal=simout.signals.values(:,4);

```

```
ual=simout1.signals.values(:,1);
ub1=simout1.signals.values(:,2);
uc1=simout1.signals.values(:,3);
ud1=simout1.signals.values(:,4);
uq1=simout1.signals.values(:,5);

ial=simout2.signals.values(:,1);
ib1=simout2.signals.values(:,2);
ic1=simout2.signals.values(:,3);

rychl1=r.*omegal;
drahal=r.*thetal;

m_z=m_z_vekt(2);                                % 2
Mz=Mz_vekt(2);
Jrot=Jrot_vekt(2);

sim('m_15',[0 5]);

t2=simout.time;
id2=simout.signals.values(:,1);
iq2=simout.signals.values(:,2);
omega2=simout.signals.values(:,3);
theta2=simout.signals.values(:,4);

ua2=simout1.signals.values(:,1);
ub2=simout1.signals.values(:,2);
uc2=simout1.signals.values(:,3);
ud2=simout1.signals.values(:,4);
uq2=simout1.signals.values(:,5);

ia2=simout2.signals.values(:,1);
ib2=simout2.signals.values(:,2);
ic2=simout2.signals.values(:,3);

rychl2=r.*omega2;
draha2=r.*theta2;

m_z=m_z_vekt(3);                                % 3
Mz=Mz_vekt(3);
Jrot=Jrot_vekt(3);

sim('m_15',[0 5]);

t3=simout.time;
id3=simout.signals.values(:,1);
iq3=simout.signals.values(:,2);
omega3=simout.signals.values(:,3);
theta3=simout.signals.values(:,4);

ua3=simout1.signals.values(:,1);
ub3=simout1.signals.values(:,2);
```

```
uc3=simout1.signals.values(:,3);
ud3=simout1.signals.values(:,4);
uq3=simout1.signals.values(:,5);

ia3=simout2.signals.values(:,1);
ib3=simout2.signals.values(:,2);
ic3=simout2.signals.values(:,3);

rychl3=r.*omega3;
draha3=r.*theta3;

m_z=m_z_vekt(4);                                % 4
Mz=Mz_vekt(4);
Jrot=Jrot_vekt(4);

sim('m_15',[0 5]);

t4=simout.time;
id4=simout.signals.values(:,1);
iq4=simout.signals.values(:,2);
omega4=simout.signals.values(:,3);
theta4=simout.signals.values(:,4);

ua4=simout1.signals.values(:,1);
ub4=simout1.signals.values(:,2);
uc4=simout1.signals.values(:,3);
ud4=simout1.signals.values(:,4);
uq4=simout1.signals.values(:,5);

ia4=simout2.signals.values(:,1);
ib4=simout2.signals.values(:,2);
ic4=simout2.signals.values(:,3);

rychl4=r.*omega4;
draha4=r.*theta4;

m_z=m_z_vekt(5);                                % 5
Mz=Mz_vekt(5);
Jrot=Jrot_vekt(5);

sim('m_15',[0 5]);

t5=simout.time;
id5=simout.signals.values(:,1);
iq5=simout.signals.values(:,2);
omega5=simout.signals.values(:,3);
theta5=simout.signals.values(:,4);

ua5=simout1.signals.values(:,1);
ub5=simout1.signals.values(:,2);
uc5=simout1.signals.values(:,3);
ud5=simout1.signals.values(:,4);
uq5=simout1.signals.values(:,5);
```

```

ia5=simout2.signals.values(:,1);
ib5=simout2.signals.values(:,2);
ic5=simout2.signals.values(:,3);

rychl5=r.*omega5;
draha5=r.*theta5;

figure(1)
plot(t1,ua1,'b',t2,ua2,'g',t3,ua3,'r',t4,ua4,'c',t5,ua5,'m'); grid
on;
xlabel('t [s]'); ylabel('u_a [V]');
legend('u_a pri m_z1','u_a pri m_z2','u_a pri m_z3','u_a pri
m_z4','u_a pri m_z5','Location','Best');
title('Priebeh napatia u_a v case t, pri roznych hmotnostiach zataze
(premenna m_z)');

figure(2)
plot(t1,ub1,'b',t2,ub2,'g',t3,ub3,'r',t4,ub4,'c',t5,ub5,'m'); grid
on;
xlabel('t [s]'); ylabel('u_b [V]');
legend('u_b pri m_z1','u_b pri m_z2','u_b pri m_z3','u_b pri
m_z4','u_b pri m_z5','Location','Best');
title('Priebeh napatia u_b v case t, pri roznych hmotnostiach zataze
(premenna m_z)');

figure(3)
plot(t1,uc1,'b',t2,uc2,'g',t3,uc3,'r',t4,uc4,'c',t5,uc5,'m'); grid
on;
xlabel('t [s]'); ylabel('u_c [V]');
legend('u_c pri m_z1','u_c pri m_z2','u_c pri m_z3','u_c pri
m_z4','u_c pri m_z5','Location','Best');
title('Priebeh napatia u_c v case t, pri roznych hmotnostiach zataze
(premenna m_z)');

figure(4)
plot(t1,ua1,'b',t3,ua3,'b--',t5,ua5,'b:'); hold on;
plot(t1,ub1,'g',t3,ub3,'g--',t5,ub5,'g:'); hold on;
plot(t1,uc1,'r',t3,uc3,'r--',t5,uc5,'r:'); grid on;
xlabel('t [s]'); ylabel('u [V]');
legend('u_a pri m_z1','u_a pri m_z3','u_a pri m_z5','u_b pri m_z1',
'u_b pri m_z3','u_b pri m_z5','u_c pri R_1','u_c pri R_3','u_c pri
R_5','Location','Best');
title('Priebeh napati u_a, u_b, u_c v case t, pri roznych
hmotnostiach zataze (premenna m_z)');
hold off;

figure(5)
plot(t1,ia1,'b',t2,ia2,'g',t3,ia3,'r',t4,ia4,'c',t5,ia5,'m'); grid
on;
xlabel('t [s]'); ylabel('i_a [A]');
legend('i_a pri m_z1','i_a pri m_z2','i_a pri m_z3','i_a pri
m_z4','i_a pri m_z5','Location','Best');
title('Priebeh prudu i_a v case t, pri roznych hmotnostiach zataze
(premenna m_z)');

```

```

figure(6)
plot(t1,ib1,'b',t2,ib2,'g',t3,ib3,'r',t4,ib4,'c',t5,ib5,'m'); grid
on;
xlabel('t [s]'); ylabel('i_b [A]');
legend('i_b pri m_z1','i_b pri m_z2','i_b pri m_z3','i_b pri
m_z4','i_b pri m_z5','Location','Best');
title('Priebeh prudu i_b v case t, pri roznych hmotnostiach zataze
(premenna m_z)');

figure(7)
plot(t1,ic1,'b',t2,ic2,'g',t3,ic3,'r',t4,ic4,'c',t5,ic5,'m'); grid
on;
xlabel('t [s]'); ylabel('i_c [A]');
legend('i_c pri m_z1','i_c pri m_z2','i_c pri m_z3','i_c pri
m_z4','i_c pri m_z5','Location','Best');
title('Priebeh prudu i_c v case t, pri roznych hmotnostiach zataze
(premenna m_z)');

figure(8)
plot(t1,ia1,'b',t3,ia3,'b--',t5,ia5,'b:'); hold on;
plot(t1,ib1,'g',t3,ib3,'g--',t5,ib5,'g:'); grid on;
plot(t1,ic1,'r',t3,ic3,'r--',t5,ic5,'r:'); grid on;
% plot(t,ua,t,ub,t,uc); grid on;
xlabel('t [s]'); ylabel('i [A]');
legend('i_a pri m_z1','i_a pri m_z3','i_a pri m_z5','i_b pri
m_z1','i_b pri m_z3','i_b pri m_z5','i_c pri m_z1','i_c pri
m_z3','i_c pri m_z5','Location','Best');
title('Priebeh prudov i_a, i_b, i_c v case t, pri roznych
hmotnostiach zataze (premenna m_z)');
hold off;

figure(9)
plot(t1,ud1,'b',t2,ud2,'g',t3,ud3,'r',t4,ud4,'c',t5,ud5,'m'); grid
on;
xlabel('t [s]'); ylabel('u_d [V]');
legend('u_d pri m_z1','u_d pri m_z2','u_d pri m_z3','u_d pri
m_z4','u_d pri m_z5','Location','Best');
title('Priebeh napatia na vstupe motora u_d v case t, pri roznych
hmotnostiach zataze (premenna m_z)');

figure(10)
plot(t1,uq1,'b',t2,uq2,'g',t3,uq3,'r',t4,uq4,'c',t5,uq5,'m'); grid
on;
xlabel('t [s]'); ylabel('u_q [V]');
legend('u_q pri m_z1','u_q pri m_z2','u_q pri m_z3','u_q pri
m_z4','u_q pri m_z5','Location','Best');
title('Priebeh napatia na vstupe motora u_q v case t, pri roznych
hmotnostiach zataze (premenna m_z)');

figure(11)
plot(t1,ud1,'b',t3,ud3,'b--',t5,ud5,'b:'); hold on;
plot(t1,uq1,'g',t3,uq3,'g--',t5,uq5,'g:'); grid on;
xlabel('t [s]'); ylabel('u [V]');
legend('u_d pri m_z1','u_d pri m_z3','u_d pri m_z5','u_q pri
m_z1','u_q pri m_z3','u_q pri m_z5','Location','Best');

```

```

title('Priebeh napati na vstupe motora u_d, u_q v case t, pri
roznych hmotnostiach zataze (premenna m_z)');
hold off;

figure(12)
plot(t1,id1,'b',t2,id2,'g',t3,id3,'r',t4,id4,'c',t5,id5,'m'); grid
on;
xlabel('t [s]'); ylabel('i_d [A]');
legend('i_d pri m_z1','i_d pri m_z2','i_d pri m_z3','i_d pri
m_z4','i_d pri m_z5','Location','Best');
title('Priebeh prudu motora i_d v case t, pri roznych hmotnostiach
zataze (premenna m_z)');

figure(13)
plot(t1,iq1,'b',t2,iq2,'g',t3,iq3,'r',t4,iq4,'c',t5,iq5,'m'); grid
on;
xlabel('t [s]'); ylabel('i_q [A]');
legend('i_q pri m_z1','i_q pri m_z2','i_q pri m_z3','i_q pri
m_z4','i_q pri m_z5','Location','Best');
title('Priebeh prudu motora i_q v case t, pri roznych hmotnostiach
zataze (premenna m_z)');

figure(14)
plot(t1,id1,'b',t3,id3,'b--',t5,id5,'b:'); hold on;
plot(t1,iq1,'g',t3,iq3,'g--',t5,iq5,'g:'); grid on;
xlabel('t [s]'); ylabel('i [A]');
legend('i_d pri m_z1','i_d pri m_z3','i_d pri m_z5','i_q pri
m_z1','i_q pri m_z3','i_q pri m_z5','Location','Best');
title('Priebeh prudov motora i_d, i_q v case t, pri roznych
hmotnostiach zataze (premenna m_z)');
hold off;

figure(15)
plot(t1,omegal,'b',t2,omega2,'g',t3,omega3,'r',t4,omega4,'c',t5,omeg
a5,'m'); grid on;
xlabel('t [s]'); ylabel('omega [rad/s]');
legend('omega pri m_z1','omega pri m_z2','omega pri m_z3','omega pri
m_z4','omega pri m_z5','Location','Best');
title('Priebeh uhlovej rychlosci omega v case t, pri roznych
hmotnostiach zataze (premenna m_z)');

n1=(60/(2*pi())) *omegal;
n2=(60/(2*pi())) *omega2;
n3=(60/(2*pi())) *omega3;
n4=(60/(2*pi())) *omega4;
n5=(60/(2*pi())) *omega5;

figure(16)
plot(t1,n1,'b',t2,n2,'g',t3,n3,'r',t4,n4,'c',t5,n5,'m'); grid on;
xlabel('t [s]'); ylabel('n [ot./min]');
legend('n pri m_z1','n pri m_z2','n pri m_z3','n pri m_z4','n pri
m_z5','Location','Best');
title('Priebeh otacok motora n v case t, pri roznych hmotnostiach
zataze (premenna m_z)');

```

```

figure(17)
plot(t1,theta1,'b',t2,theta2,'g',t3,theta3,'r',t4,theta4,'c',t5,theta5,'m'); grid on;
xlabel('t [s]'); ylabel('theta [rad]');
legend('theta pri m_z1','theta pri m_z2','theta pri m_z3','theta pri m_z4','theta pri m_z5','Location','Best');
title('Priebeh uhloveho natocenia theta v case t, pri roznych hmotnostiach zataze (premenna m_z)');

figure(18)
plot(t1,rychl1,'b',t2,rychl2,'g',t3,rychl3,'r',t4,rychl4,'c',t5,rychl5,'m'); grid on;
xlabel('t [s]'); ylabel('v_t [m/s]');
legend('v_t pri m_z1','v_t pri m_z2','v_t pri m_z3','v_t pri m_z4','v_t pri m_z5','Location','Best');
title('Priebeh translacnej rychlossti v_t v case t, pri roznych hmotnostiach zataze (premenna m_z)');

figure(19)
plot(t1,draha1,'b',t2,draha2,'g',t3,draha3,'r',t4,draha4,'c',t5,draha5,'m'); grid on;
xlabel('t [s]'); ylabel('draha [m]');
legend('d pri m_z1','d pri m_z2','d pri m_z3','d pri m_z4','d pri m_z5','Location','Best');
title('Priebeh translacneho posunutia d v case t, pri roznych hmotnostiach zataze (premenna m_z)');

```

### Program\_Kriteria.m

```

close all; clear all; clc;
%% Parametre motora %%

R=6.8; % [Ohm] Odpor statora

Ld=6*10^(-3); % [H] Indukcnost statora
Lq=6*10^(-3); % [H] Indukcnost rotora

Pp=6; % [-] Pocet polovych dvojic motora

Leng=0.360; % [m] Coil length
r=Leng/(2*pi); % [m] polomer na prepocitavania z rotac. na translac. pohyb

m_m=3.4; % [kg] Hmotnost jazdca
m_z=58.858; % [kg] Hmotnost zataze
m_c=m_m+m_z; % [kg] Hmotnost (pohybl.sucasti motora + zataze)

g=9.80665; % [m/s^2] Gravitačne zrychlenie
Mz=m_z*g*r; % [N.m] Zatazny moment

KERot=(77.155*Leng)/(2*pi); % [V.s/rad] Konstanta elektromotorickej sily, prepoc. na rotacnu
Jrot=m_c*r^2; % [kg.m^2] Moment zotrvačnosti rotora

```

```
% Pre (PI) R_id, R_iq
Kd1=20;
Kq1=20;

% Pre (PID) R_w
Kw=4.0;
T1=0.110;
T2=0.020;

% Pre (PD) R_theta
Kth=3.0;
Th=0.002;

% Realizacna cas. konstanta eps
eps=0.001;

d=0.720; % [m] ziadany posun jazdca motora, 0.06 m je asi 1 rad
theta_ziad=d/r;

% Hodnoty Obmedzeni
Obm_id=6;
Obm_iq=6;

sim('m_15',[0 5]);

t=simout.time;
id=simout.signals.values(:,1);
iq=simout.signals.values(:,2);
omega=simout.signals.values(:,3);
theta=simout.signals.values(:,4);

ua=simout1.signals.values(:,1);
ub=simout1.signals.values(:,2);
uc=simout1.signals.values(:,3);
ud=simout1.signals.values(:,4);
uq=simout1.signals.values(:,5);

ia=simout2.signals.values(:,1);
ib=simout2.signals.values(:,2);
ic=simout2.signals.values(:,3);

th_ziad=simout3.signals.values(:,1);
w_ziad=simout3.signals.values(:,2);
idq_ziad=simout3.signals.values(:,3);

rychl=r.*omega;
draha=r.*theta;

% Vyhodnotenie kvality regulacie
disp('Hodnotenie kvality regulacie J = [J_id J_iq J_w J_th]');
J_id=Kvadrat(t,idq_ziad,id);
J_iq=Kvadrat(t,idq_ziad,iq);
J_w=Kvadrat(t,w_ziad,omega);
```

```

J_th=Kvadrat(t,th_ziad,theta);
J_Kvadrat=[J_id J_iq J_w J_th]

J_id=ULk(t,idq_ziad,id);
J_iq=ULk(t,idq_ziad,iq);
J_w=ULk(t,w_ziad,omega);
J_th=ULk(t,th_ziad,theta);
J_ULk=[J_id J_iq J_w J_th]

J_id=ITAEk(t,idq_ziad,id);
J_iq=ITAEk(t,idq_ziad,iq);
J_w=ITAEk(t,w_ziad,omega);
J_th=ITAEk(t,th_ziad,theta);
J_ITAE=[J_id J_iq J_w J_th]

figure(1)
plot(t,ua); grid on;
xlabel('t [s]'); ylabel('u_a [V]');
legend('u_a','Location','Best');
title('Priebeh napatia u_a v case t');

figure(2)
plot(t,ub); grid on;
xlabel('t [s]'); ylabel('u_b [V]');
legend('u_b','Location','Best');
title('Priebeh napatia u_b v case t');

figure(3)
plot(t,uc); grid on;
xlabel('t [s]'); ylabel('u_c [V]');
legend('u_c','Location','Best');
title('Priebeh napatia u_c v case t');

figure(4)
plot(t,ua,t,ub,t,uc); grid on;
xlabel('t [s]'); ylabel('u [V]');
legend('u_a','u_b','u_c','Location','Best');
title('Priebeh napati u_a, u_b, u_c v case t');

figure(5)
plot(t,ia); grid on;
xlabel('t [s]'); ylabel('i [A]');
legend('i_a','Location','Best');
title('Priebeh prudu motora i_a v case t');

figure(6)
plot(t,ib); grid on;
xlabel('t [s]'); ylabel('i [A]');
legend('i_b','Location','Best');
title('Priebeh prudu motora i_b v case t');

figure(7)
plot(t,ic); grid on;

```

```

xlabel('t [s]'); ylabel('i [A]');
legend('i_c','Location','Best');
title('Priebeh prudu motora i_c v case t');

figure(8)
plot(t,ia,t,ib,t,ic); grid on;
xlabel('t [s]'); ylabel('i [A]');
legend('i_a','i_b','i_c','Location','Best');
title('Priebeh prudov motora i_a, i_b, i_c v case t');

figure(9)
plot(t,ud); grid on;
xlabel('t [s]'); ylabel('u_d [V]');
legend('u_d','Location','Best');
title('Priebeh napatia na vstupe motora u_d v case t');

figure(10)
plot(t,uq); grid on;
xlabel('t [s]'); ylabel('u_q [V]');
legend('u_q','Location','Best');
title('Priebeh napatia na vstupe motora u_q v case t');

figure(11)
plot(t,ud,t,uq); grid on;
xlabel('t [s]'); ylabel('u [V]');
legend('u_d','u_q','Location','Best');
title('Priebeh napati na vstupe motora u_d, u_q v case t');

figure(12)
plot(t,id); grid on;
xlabel('t [s]'); ylabel('i_d [A]');
legend('i_d','Location','Best');
title('Priebeh prudu motora i_d v case t');

figure(13)
plot(t,iq); grid on;
xlabel('t [s]'); ylabel('i_q [A]');
legend('i_q','Location','Best');
title('Priebeh prudu motora i_q v case t');

figure(14)
plot(t,id,t,iq); grid on;
xlabel('t [s]'); ylabel('i [A]');
legend('i_d','i_q','Location','Best');
title('Priebeh prudov motora i_d, i_q v case t');

figure(15)
plot(t,omega); grid on;
xlabel('t [s]'); ylabel('omega [rad/s]');
legend('omega','Location','Best');
title('Priebeh uhlovej rychlossti omega v case t');

t2=t/60;
n=(60/(2*pi())) *omega;
figure(16)

```

```

plot(t,n); grid on;
xlabel('t [s]'); ylabel('n [ot./min]');
legend('n','Location','Best');
title('Priebeh otacok motora n v case t');

figure(17)
plot(t,theta); grid on;
xlabel('t [s]'); ylabel('theta [rad]');
legend('theta','Location','Best');
title('Priebeh uhloveho natocenia theta v case t');

figure(18)
plot(t,rychl); grid on;
xlabel('t [s]'); ylabel('v_t [m/s]');
legend('v_t','Location','Best');
title('Priebeh translacnej rychlosci v_t v case t');

figure(19)
plot(t,draha); grid on;
xlabel('t [s]'); ylabel('draha [m]');
legend('d','Location','Best');
title('Priebeh translacneho posunutia d v case t');

```

### Kvadrat.m

```

%% Kvadraticke integralne kriterium kvality regulacie %%

% Vstupne parametre: t vektor casu
%                      u vektor ziadanych hodnot
%                      y vektor vystupnych (skutocnych) hodnot
% Vystupne parametre: Jk kvadraticka regulacna plocha

function [Jk]=Kvadrat(t,u,y)
e=u-y;
eInf=sum(e((end-9):end)) /10;

e2=(e-eInf).^2;    % integrand

Jk=0;
for i=1:(length(t)-1)
usek=t(i+1)-t(i);
Jk=Jk+ usek*e2(i);
end

```

### Ulk.m

```

%% Modifik. kriterium usmernenej linear. plochy %%

% Vstupne parametre: t vektor casu
%                      u vektor ziadanych hodnot
%                      y vektor vystupnych (skutocnych) hodnot
% Vystupne parametre: J_ULk usmernena linear. regulacna plocha

```

```
function [J_ULk]=ULk(t,u,y)
e=u-y;
eInf=sum(e((end-9):end)) /10;

e2=abs(e-eInf); % integrand

J_ULk=0;
for i=1:(length(t)-1)
usek=t(i+1)-t(i);
J_ULk=J_ULk+ usek*e2(i);
end
```

### ITAEk.m

```
%% ITAE kriterium kvality regulacie %%  
  
% Vstupne parametre: t vektor casu
%                      u vektor ziadanych hodnot
%                      y vektor vystupnych (skutocnych) hodnot
% Vystupne parametre: J_ITAE regulacna plocha podla ITAE  
  
function [J_ITAE]=ITAEk(t,u,y)
e=u-y;
eInf=sum(e((end-9):end)) /10;

e2=abs(e-eInf) .*t; % integrand

J_ITAE=0;
for i=1:(length(t)-1)
usek=t(i+1)-t(i);
J_ITAE=J_ITAE+ usek*e2(i);
end
```